МИНИСТЕРСТВО ОБРАЗОВАНИЯ И НАУКИ РЕСПУБЛИКИ КАЗАХСТАН

Казахский национальный исследовательский технический университет имени К.И. Сатпаева

Институт горно-металлургический

Кафедра металлургии и обогащения полезных ископаемых

Смолькова А. И.

Проект обогатительной фабрики по переработке золото-медной рудыЮбилейного месторождения с производительностью 2000000 тонн в год

ПОЯСНИТЕЛЬНАЯ ЗАПИСКА

к дипломному проекту

специальность 5В073700 – Обогащение полезных ископаемых

МИНИСТЕРСТВО ОБРАЗОВАНИЯ И НАУКИ РЕСПУБЛИКИ КАЗАХСТАН

Казахский национальный исследовательский технический университет имени К.И. Сатпаева

Институт горно-металлургический

Кафедра металлургии и обогащения полезных ископаемых

ДОПУЩЕН К ЗАЩИТЕ

Заведующий кафедрой М и ОПИ

канд. техн. наук

М.Б. Барменшинова

2019 г.

ПОЯСНИТЕЛЬНАЯ ЗАПИСКА

к дипломному проекту

на тему: Проект обогатительной фабрики по переработке золото - медной руды Юбилейного месторождения с производительностью 2000000 тонн в год

по специальности 5В073700

Выполнила Смолькова А. И.

Научный руководитель

Ассоциированный профессор

Ш.А.Телков

2019 г.

Протокол анализа Отчета подобия

заведующего кафедрой / начальника структурного подразделения

Заведующий кафедрой / начальник структурного подразделения заявляет, что ознакомился(-ась) с Полным отчетом подобия, который был сгенерирован Системой выявления и предотвращения плагиата в отношении работы:

Автор: Смолькова А.И.	
Название : Смолькова А.Иdocx Координатор: Шамиль Телков	Проент облатиченной добрини по пере разочке золого-ещеной пруби е пропродителностью горово горово Т. руди в год.
Коэффициент подобия 1:13	destablish U.10.
Коэффициент подобия 2:4,1	
Тревога:459	
После анализа отчета подобия з подразделения констатирует сл	заведующий кафедрой / начальник структурного ледующее:
плагиата. В связи с чем, работа п □ обнаруженные в работе заимст количество вызывает сомнения в самостоятельности ее автора. В с ограничения заимствований; □ обнаруженные в работе заимст плагиата, или в ней содержатся п	гвования являются добросовестными и не обладают признаками признается самостоятельной и допускается к защите; гвования не обладают признаками плагиата, но их чрезмерное отношении ценности работы по существу и отсутствием вязи с чем, работа должна быть вновь отредактирована с целью гвования являются недобросовестными и обладают признаками реднамеренные искажения текста, указывающие на попытки иствований. В связи с чем, работа не допускается к защите.
Обоснование: Рабова допус зашися выбочние	chalter & Zaeglite. Denapymentere Me Abdictoral milanatory
8,05.2019	
Дата	Подпись заведующего кафедрой / ЭНД
	начальника структурного подрагодология

Окончательное решение в отноше	нии допуска к защите, включая обоснование:
Donywere K	Jujure
8.05.2019	Joshy
Дата	Подпись заведующего кафедрой /
	начальника структурного подразделения

Протокол анализа Отчета подобия Научным руководителем

Заявляю, что я ознакомился(-ась) с Полным отчетом выявления и предотвращения плагиата в отношении	
Автор: Смолькова А.И.	
Название: Смолькова А.Иdocx	
Координатор:Шамиль Телков	meperop didnicol
Коэффициент подобия 1:13	
Коэффициент подобия 2:4,1	
Тревога:459	
После анализа Отчета подобия констатирую след	ующее:
обнаруженные в работе заимствования я признаками плагиата. В связи с чем, при защите;	вляются добросовестными и не обладают изнаю работу самостоятельной и допускаю ее к
	ношении ценности работы по существу и ра. В связи с чем, работа должна быть вновь
	являются недобросовестными и обладают ержатся преднамеренные искажения текста, обросовестных заимствований. В связи с чем,

Обоснование:	
обкарунсения за	randbolosens su ebelvote
8. 85.2019 5	Theany
Дата	Подпись Научного руководителя

МИНИСТЕРСТВО ОБРАЗОВАНИЯ И НАУКИ РЕСПУБЛИКИ КАЗАХСТАН

Казахский национальный исследовательский технический университет имени К.И. Сатпаева

Институт горно-металлургический

Кафедра металлургии и обогащения полезных ископаемых

5В073700 - Обогащение полезных ископаемых

УТВЕРЖДАЮ

Зав. кафедрой М и ОПИ канд. техн. наук, доцент М.Б. Барменшинова 2019 г.

ЗАДАНИЕ

на выполнение дипломного проекта

Обучающемуся Смольковой Арине Игоревне

На тему:"Проект обогатительной фабрики по переработке золото-медной руды Юбилейного месторождения с производительностью 2000000 тонн в год Утверждена приказом ректора университета: № 1113-б от «08» октября 2018 г. Срок сдачи законченного проекта: «13» мая 2019 г. Исходные данные к дипломному проекту: Данные с преддипломной практики

Перечень подлежащих разработке в дипломном проекте вопросов:

- а) Расчет количественной и водно-шламовой схемы; б) Выбор и расчет основного и вспомогательного оборудования; в) Разработка мероприятий по безопасному ведению технологических процессов; г) Экономическая часть проекта, расчет себестоимости переработки одной тонны руды.
- Перечень графического материала (с точным указанием обязательных чертежей): технологическая схема переработки, схема цепи аппаратов, конструкция сгустителя

Рекомендуемая основная литература:

- 1) Сажин Ю.Г. расчеты схем рудоподготовки и выбор оборудования для дробления, грохочения, измельчения и классификации: Учеб.пособие. Алматы: КазНТУ, 2005. – 177 с.
- 2) Справочник по обогащению руд. Подготовительные процессы. Изд. 2е, переработанное и дополненное – М.: Недра, 1982

ГРАФИК

подготовки дипломного проекта

Наименование разделов, перечень разрабатываемых	Сроки представления научному руководителю и	Примечание
вопросов	консультантам	,31
Обоснование и расчет технологической схемы	15.02.2019 – 22.02.2019	Выточнесто
Выбор и расчет оборудования	25.02.2019 - 9.03.2019	Bornouneno
Разработка чертежей	11.03.2019 - 25.03.2019	Boureno
Безопасность и охрана труда	29.03.2019 - 12.04.2019	Вышено
Технико – экономические расчеты	29.03.2019 – 12.04.2019	Bourainens
Оформление пояснительной записки	15.04.2019 - 4.05.2019	Bornounens

Подписи

Консультантов и нормоконтролера на законченный дипломный проект с указанием относящихся к ним разделов проекта

Наименование	Научный руководитель,		Подпись
разделов	консультанты, И.О.Ф.	дата подписания	Подпись
	(уч. степень, звание)		
Экономическая	Ш.А.Телков	12 10 16 1	1
часть	канд. техн. наук,	10.03.15	+ //
	доцент	a for.	Julgan 1
Безопасность и	Ш.А.Телков	13 de 10 0	1011
охрана труда	канд. техн. наук,	Side Sull.	Helelet
	доцент	Sq-Chan	
Нормоконтроль	И.Ю.Мотовилов	13.05.2019	10
	лектор	13.00.2015	Merred

Научный руков	одитель Учедия	Ш. А. Телков
Задание принял	а к исполнению	А. И. Смолькова
Дата	«13» Mail	2019 г.

АННОТАЦИЯ

Дипломдық жобаның нысаны жылына 2000000 тонна өнімділігі бар Юбилейный кен орнының кендерін қайта өңдеуге арналған байыту фабрикасы.

Жобаны жасау барысында ішіне үш сатылы кенді ұсақтау, екі сатылы ұнтақтау, негізгі бақылау және ұжымдық алтын-мыс концентратын алу арқылы 3 қайта тазалау флотация операциялары кіретін кенді қайта өңдеудің технологиялық сұлбасы таңдалды. Мынадай сызбалар сызылды: технологиялық сұлба, тізбектер мен аппараттар диаграммасы және қойылтқыш сызбасы.

Технологияның ақырғы өнімі құрамында 15% мыс және 92,39 г/т алтын құрайтын ұжымдық алтын - мыс концентраты болып табылады.

Концентраттағы мыс өндірісі 92% және алтын85%.

Өндірілетін концентраттың жылдық салмағы жылына 110,4 мың тоннаны құрайды.

Руданы қайта өңдеудің өзіндік құны 1255 теңгені, 1 тонна концентраттың өзіндік құны 371,525 мың теңгені құрды.

Кәсіпорын құрылысына күрделі шығындардың өтелімділігі мерзімі - 3 жыл.

АННОТАЦИЯ

Объектом дипломного проекта является обогатительная фабрика по переработке руд Юбилейного месторождения с производительностью 2000000 тонн в год.

В процессе разработки проекта выбрана технологическая схема переработки руды, включающая: трехстадиальное дробление руды, двухстадиальное измельчение, основную контрольную и 3 перечистные получением коллективного флотации золото медного концентрата. Выполнены чертежи: технологическая схема, цепи схема аппаратов и чертеж сгустителя.

Конечным продуктом технологии является коллективный золото — медный концентрат, с содержанием меди 15 %, и золота с содержанием 92,39 г/т, при извлечении меди в концентрат 92 % и золота 85 %.

Годовая масса полученного концентрата 110,400 тонн в год.

Себестоимость переработки руды составила 1255, себестоимость 1 тонны концентрата 371,525 тыс.тенге.

Срок окупаемости капитальных затрат на строительство предприятия 3 года.

LEAD

The object of diploma project is Ore Processing Concentrating Plant for Yubileyniy deposit with a capacity of 2000000 tons per year.

During the project development, ore processing flow chart was chosen, including: three-stage ore breaking, two-stage grinding, the basic control one and 3 cleaning floatation operations obtaining bulk gold and copper concentrate. The drawings performed: process flow chart, circuit and apparatus chart and thickener chart.

Final product of the technical process was bulk gold and copper concentrate, with a copper content of 15% and gold content of 92.39 g/t.

When extracting copper into the concentrate of 92% and gold of 85%.

Annual mass of obtained concentrate is 110 400 tons per year.

The prime cost of ore processing is 1255, prime cost of 1 ton of concentrate is 371 525 thousand tenge.

Payback period of capital costs for the construction of the enterprise is 3 years.

СОДЕРЖАНИЕ

	Введение	10
1	Общая пояснительная записка	12
1.1	Краткая характеристика предприятия	12
1.2	Основные технологические и проектные решения	13
1.3	Состав обогатительной фабрики	13
1.4	Комплексность и использования сырья	14
2	Генеральный план, транспорт и рекультивация	16
2.1	Генеральный план	15
2.1.1	Характеристика района и площадки строительства	15
2.2	Транспорт	16
2.2.1	Виды транспорта и грузооборот	16
2.2.2	Автомобильные дороги	16
2.3	Рекультивация нарушенных земель	17
2.3.1	Перечень нарушенных земель подлежащих рекультивации	17
2.3.2	Методы восстановления участков	17
3	Технология производства, обеспечение энергоресурсами	18
3.1	Технология производства	18
3.1.1	Сырьевая база, характеристика сырья	18
3.1.2	Режим работы цехов и расчет производительности	19
3.1.3	Краткий анализ работы действующей фабрики	20
3.1.4	Выбор и обоснование технологической схемы	20
3.1.5	Выбор и расчет схемы дробления	21
3.1.6	Выбор и расчет схемы измельчения	25
3.1.7	Расчет баланса металлов и количественной схемы обогащения	27
3.1.8	Выбор схемы обезвоживания	28
3.1.9	Расчет водно-шламовой схемы	29
3.1.10	Выбор и технологический расчет основного оборудования	32
3.1.10.1	Оборудование для дробления	32
3.1.10.2	Выбор оборудования для грохочения	36
3.1.10.3	Выбор оборудования для измельчения	37
3.1.10.4	Выбор оборудования для классификации	40
3.1.10.5	Выбор оборудования для флотационного обогащения	42
3.1.10.6	Выбор оборудования для обезвоживания	43
3.1.11	Выбор и расчет вспомогательного оборудования	44
3.1.12	Реагентное хозяйство	48
4	Безопасность и охрана труда	50
4.1	Общая характеристика предприятия	50
4.2	Организация охраны труда	50
4.3	Инженерные расчеты по охране и безопасности	51
4.3.1	Расчеты искусственного-естественного освещения	51
4.4	Электро - и пожаробезопасность предприятия	53
5	Экономика производства	54

5.1	Главный корпус	54
5.2	Расчет стоимости вспомогательных материалов	54
5.3	Стоимость энергозатрат	55
5.4	Заработная плата	56
5.5	Расчет расходов на содержание оборудования	57
5.6	Расчет цеховых расходов	58
	Заключение	60
	Список литературы	61
	Приложение А	62

ВВЕДЕНИЕ

Месторождение «Юбилейное» расположено в Республике Казахстан в Актюбинской области.

Месторождение расположено на территории Мугалжарского района Актюбинской области, в 45 км от ближайшей железнодорожной станции Жем, г.Эмба, с которой связан грейдерной автодорогой. От областного центра г. Актобе месторождение удалено на 250 км к юго-востоку.

Месторождение расположено в южных отрогах Мугоджарских гор, которые представляют собой меридиональной вытянутые небольшие возвышенности с абсолютными отметками 330 — 450 м. К западу, горный ландшафт постепенно сменяется мелкосопочником и переходит во всхолмленную степь. Абсолютная отметка месторождения — 450 м над уровнем моря.

Гидрогеографическая сеть района развита слабо. Вблизи месторождения протекает речка Кундызды, имеющая сравнительно небольшую площадь водосбора и питающаяся в основном за счет весенних паводков, грунтовых вод с малым удельным дебитом и многочисленных ключей, истекающих с водораздельных возвышенностей. В летнее время она пересыхает и превращается в систему отдельных разобщенных плесов.

Климат района резко континентальный с сухим жарким летом и холодной, часто сырой, малоснежной зимой. Близость Аральского моря и Каспия сглаживает температурные градиенты, благодаря чему несколько повышается средняя годовая температура по сравнению с другими районами Республики Казахстан.

Максимальная температура летом достигает $+45^{\circ}$, зимой -40° . Глубина промерзания почвы -1,5 м.

Годовое количество осадков колеблется от 120 до 380 мм.

Для района характерны почти постоянно дующие ветры северовосточного направления. Скорость ветра часто достигает 10 - 15 м/сек; нередки ураганы, когда скорость ветра достигает 40-50 м/сек.

Район преимущественно сельскохозяйственный. Все материалы и топливо завозятся по железной дороге до станции Жем и затем на месторождение – автотранспортом.

Строительные материалы приобретаются в других районах, кроме бутового камня и трепела, которые можно добывать на месте.

Район месторождения малонаселенный и в экономическом отношении слабо развитый. Местное население занимается преимущественно животноводством, земледелием и в большинстве своем заселяет территорию, прилегающую к железнодорожной магистрали и долине реки Эмба.

В 25 км к востоку от месторождения проложен газопровод Бухара – Урал, ближайшая газокомпрессорная станция расположена в 35 км (ГКС - 13).

Поселок Алтынды обеспечен электроэнергией от государственной линии. Питьевой водой население снабжается из скважин, пробуренных с этой целью на южной окраине, доставка осуществляется автотранспортом.

Электроэнергией производство обеспечивается ВЛ 110 кВ, протяженность которой от подстанции г. Эмба до подстанции пос. Алтынды – 45 км, далее по ВЛ 6кВ на подстанцию шахты «Капитальная».

1. ОБЩАЯ ПОЯСНИТЕЛЬНАЯ ЗАПИСКА

1.1 Краткая характеристика предприятия

Месторождение «Юбилейное» приурочено к штоку биотит — роговообманковых плагиогранит — порфиров, прорывающих базальты и андезито — базальты мугоджарской свиты силлура (S mg), окаймленному интенсивно окварцованными породами.

Золотое оруденение залегает в гидротермально-измененных породах и размещается как по периферийной зоне интрузии, так и в пределах самой интрузии.

месторождения каркасно блоковая, обусловленная Структура меридионального крутопадающими разломами северо восточного И простирания. На площади месторождения широко проявлены и более мелкие разрывные нарушения субмеридионального, северо- западного, северовосточного и субширотного направлений. Субширотные разломы считаются Амплитуды смещений пострудными. ПО разломам незначительны. Большинство разломом крутопадающие $(75 - 85^{\circ})$.

На современном эрозионном срезе месторождения выделены 4 крупных рудных тела кварцевых метасоматитов: Центральное, Северное, Западное и Юго-восточное и ряд более мелких. Главные рудные тела крутопадающие (75 – 90°) и имеют протяженность 60 – 140 м, при мощности 5 – 40 м, на глубину прослеживаются до 320 – 500 м. Рудные тела представляют собою штокверковые зоны, зоны, образованные густой сетью прожилков мощностью 0,1 – 10,0 см. Большая часть прожилков сложена дорудным кварцем с магнетитом. Рудные кварц-сульфидные прожилки секут первые или подновляют их, располагаясь в зальбандах или их центральных частях. На отдельных участках сеть прожилков сгущается с образованием сплошных или с редкими реликтами первичных пород, кварцитоподобные образования – кварцевые метасоматиты.

По минеральному составу и количественному соотношению минералов руды месторождения относятся к умеренно сульфидному типу. Основная часть запасов составляют руды, содержащие 65-80 % кремнезема, 6-13% глинозема и 3-10% сульфидов.

Главными минералами первичных руд являются: халькопирит, пирит, магнетит, золото самородное, антимонит; второстепенными: сфалерит, галенит, пирротин, марказит, рутил. Нерудные минералы: кварц, кальцит, доломит, эпидот, альбит, хлорит, актинолит, серицит.

Во вкрапленных кварцево-сульфидных рудах кроме золота, меди и серебра содержатся мышьяк и сурьма 0.001 - 0.1% и цинк 0.01 - 0.2%. Спорадически обнаруживаются молибден, свинец, скандий, галлий, иттрий, иттербий, висмут, вольфрам в пределах до тысячных долей процента.

С глубиной минеральный состав руд практически не меняется.

Текстуры руд: однородные массивные, полосовидные, пятнистые, прожилковые, реже брекчиевидные. Структуры руд: кристалло-зернисто-сгустково-вкрапленные метасоматического отложения.

Таким образом, с учетом вещественного состава, определяющего технологию переработки руд, на месторождении выделены два промышленных типа золотых руд:

- 1. Окисление и первичные кварцево-сульфидные руды.
- 2. Сплошные и густо вкрапленные пиритовые и медно-сурьмяно-мышьяковые руды.

1.2. Основные технологические проектные решения

Принятый основной метод обогащения - флотационный. Схема флотации коллективно - селективная, с получением медного, свинцового и цинкового концентратов.

Подготовительные процессы:

- трехстадиальное дробление с предварительным грохочением во второй и третьей стадиях;
- двухстадиальное измельчение с промежуточной флотацией, с замкнутым циклом в обеих стадиях.

Вспомогательные процессы:

- двухстадиальное обежвоживание медного, цинкового и свицового концентратов, путем сгущения и последующего фильтрования.

Все процессы осуществляются с применением стандартного технологического оборудования.

1.3 Состав обогатительной фабрики

Запасы руды и полезных компонентов месторождения «Юбилейное» до глубины 140 м были подсчитаны по состоянию на 01.01.1971 г. и утверждены ГКЗ СССР в 1971 году (протокол № 6262 от 28.05. 1971 г.).

Подсчет запасов проводился по кондициям, утвержденным ГКЗ СССР в 1970 году (протокол № 506-К), предусматривающим для открытого способа разработки следующие параметры:

- бортовое содержание золота в пробе 2 г/т;
- минимально-промышленное содержание золота в подсчетном блоке 4,6 г/т;
- минимальная мощность рудного тела, включаемого в контур балансовых запасов 3,0 м (при меньшей мощности принимать метрограмм);
- максимальная мощность прослоев пустых пород и некондиционных руд, включаемых в контур балансовых запасов 3,0 м;
 - глубина карьера 140 м от дневной поверхности;

• подсчитать запасы золота, а также попутных компонентов: серебра, серы сульфидной и флюсовых руд.

По данным геологических работ и по результатам детальной разведки на месторождении «Юбилейное» были подсчитаны запасы золота, попутных компонентов: серебра, меди, серы сульфидной и флюсовых руд. Протоколом **ГКЗ РК № 44 от 22.07. 1996** утверждены кондиции для подсчета и запасы месторождения в интервале 140 – 500м учтены Государственным балансом.

Золотосодержащие кварцевые флюсовые руды характеризуются следующими

показателями по ТУ-48-16-26-76 — содержание SiO_2 - 70-74%; Al_2O_3 - до10%; As - 0,002 — 0,1%; Sb - 0,004%.

В результате разработки месторождения с 1969 года по настоящее время погашено 10 горизонтов на глубину 100 м от поверхности (абс. отм. 350 м) и начата отработка 11 горизонта (абс. отм. 340 м).

1.4 Комплексность использования сырья

Общий баланс запасов по золоту на месторождении по состоянию на 01.01.2005 года выглядит следующим образом:

категория C_1 : руды — **191,1** тыс тн со средним содержание 8,3 г/т и металла — **1 592,6** кг;

категория C_2 : руды — 6 422,8 тыс тн. со средним содержанием 6,5 г/т и металла — 41 794,3 кг;

категория C_1 : забалансовая руда — 100,1 тыс тн. и металла — 168,4 кг; категория C_2 : забалансовая руда — 2690,3 тыс.тн. и металла — 6277,8 кг. По категории P1: 63200 кг.

На месторождении размещены забалансовые отвалы в объеме 256 тыс. т. руды со средним содержанием 2 г/т и металла **512** кг.

Содержание по сопутствующим полезным компонентам посчитано: по меди -0.41%; по серебру -2.7 г/т.

2. ГЕНЕРАЛЬНЫЙ ПЛАН, ТРАСПОРТ И РЕКУЛЬТИВАЦИЯ НАРУШЕНЫХ ЗЕМЕЛЬ

2.1 Генеральный план

2.1.1 Характеристика площадки для строительства

Месторождение выявлено в 1961 г. Б.М.Руденко. В начале относилось к медному под названием Шекарабулак II. В 1964 г. переоценено как золоторудное И.С.Акиньшиным и В.П.Грековым И переименовано Юбилейное. Развелывалось Западно-Казахстанским территориальным геологическим управлением (1965-1970 гг.). В 1969 г. до утверждения запасов в ГКЗ СССР передано комбинату "Каззолото", в результате чего оказалось недоразведанным (Рис. 2). В структурном отношении месторождение регионального зоне влияния Западно-Мугоджарского глубинного разлома субмеридионального простирания. Рудовмещающий шток плагиогранит-порфиров находится в узле пересечения Аулинской северовосточной и Трещинной северо-западной зон разломов. Рудовмещающими являются трещины штокверкового типа северо-западного и северо-восточного простирания. В строении месторождения принимают участие вулканогенные породы мугоджарской свиты (спилиты, диабазовые порфириты, диабазы), прорывающие их дайки габбро-диабазов и штоковидное тело плагиогранитпорфиров среднего девона. Плагиогранит-порфиры вмещают основное золотое оруденение штокверкового типа, что позволяет относить его к золотопорфировому типу. В принятом бортовом содержании 2 г/т оконтуривается четыре рудных тела в экзо- и эндоконтактовой зоне рудовмещающего штока. Западное рудное тело протягивается вдоль западного экзоконтакта интрузива. Его протяженность 80-240 м, мощность от 9 до 23 м, - содержание золота колеблется от 3,5 до 6,7 г/т. Прослежено на глубину более 110 м. Северное рудное тело локализуется в эффузивах вдоль северо-восточного контакта штока. Длина 80 м, мощность 16-37 м, содержание золота от 3,4 до 8 г/т. Прослежено на глубину более 100 м. Юго-восточное рудное тело локализуется в экзо-эндоконтактовой части плагиогранит-порфиров. Протяженность тела колеблется от 60 до 120 м, мощность от 10 до 21 м, содержание золота 3,8-11 г/т. Центральное рудное тело самое крупное и наиболее богатое по содержанию металла (от 5-7 до 10 г/т). Расположено внутри штока. Его форма почти изометричная, мощность от 4 до 27 м. Рудные тела представляют собой штокверковые зоны кварц-сульфидных прожилков (0,1-10 см) различной ориентировки и взаимных пересечений типа замещения и выполнения открытых трещин. Плагиограниты березитизированы, местами преобразованы метасоматиты. Рудное поле выражено положительными аномалиями в магнитном и гравитационном полях, а рудоносный шток проецируется отрицательным магнитным плагиогранит-порфиров Состав руд сравнительно простой. Главные рудные минералы: магнетит, пирит,

халькопирит, арсенопирит, тетраэдрит, антимонит и золото, второстепенные - сфалерит, галенит, шеелит, молибденит, халькозин, борнит, гематит (мартит), рутил, ильменит, анатаз, киноварь, из нерудных главный минерал - кварц.

2.2 Транспорт

2.2.1 Виды транспорта грузооборот

При рассмотрении транспортно-технологических схем отдельных участков и отделений обогатительной фабрики было очевидно, что схемы транспортных коммуникаций на фабрике очень сложны, а транспортные связи осуществляются почти всеми видами транспорта.

Железнодорожный транспорт транспортирует угли из шахт на фабрику, а получаемые сорта концентрата – потребителю.

Автомобильный транспорт используется для вывозки породы в отвал, для транспортирования оборудования и запчастей и другое для перевозок.

Гидротранспорт на ОФ используется в технологических процессах:

- подаются для технологических операций вода, суспензия, пульпа, реагенты;
 - перекачивается загрязненная вода в илонакопитель и другие.

Пневмотранспорт используется для подачи воздуха в отсадочные машины и вакуум-фильтры, для отсоса пыли от рабочих мест. На некоторых фабриках применяется контейнерный пневмотранспорт.

Конвейерный транспорт используется для перемещения продуктов между технологическими аппаратами и объектами. Используются ленточные и скребковые конвейеры. Их количество исчисляется десятками. Очень много имеется самотечного транспорта для перемещения грузов по трубопроводам и различным желобам.

2.2.2 Автомобильные дороги

Транспортная инфраструктура города и прилегающих населенных пунктов включает автомобильные дороги республиканского и областного значения. Общая протяженность автомобильных дорог общего пользования с твердым покрытием составляет 250 км, из них республиканского значения 205 км, местного – 45 км.

Наличие автомобильных дорог республиканского значения является основополагающим фактором для повышения конкурентоспособности экономики города, равномерного развития территории, обеспечение качества жизни населения.

2.3 Рекультивация нарушенных земель

2.3.1 Перечень нарушенных земель, подлежащих рекультивации

Рекультивация относится к мероприятиям восстановительного характера, направленным на устранение последствий воздействия промышленного производства на окружающую среду, в первую очередь, на земли, и рассматривается как основное средство их воспроизводства.

Восстановлению нарушенных земель должны предшествовать работы по геолого-почвенному обследованию нарушаемой и восстанавливаемой территории и обоснованию направления рекультивации.

2.3.2 Методы восстановления участков

Различают два этапа рекультивации технический и биологический. Техническая рекультивация предполагает подготовку земель для последующего целевого использования и включает планировку, формирование откосов, снятие, транспортирование и нанесение почвенного слоя. Биологическая рекультивация предусматривает восстановление плодородия технически рекультивированных земель и состоит из комплекса агротехнических и фитомелиоративных мероприятий, направленных на возобновление биоты.

Общие требования к обоим типам:

- тщательное разравнивание поверхности нарушенных земель;
- -нанесение плодородных и потенциально плодородных пород, гумусированных почвенных слоев, лессов и лессовидных суглинков мощностью до 1,0 м;
- –регулирование водного режима и баланса питательных веществ с применением глубокой обработки поверхностного слоя, внесением минеральных и органических удобрений;
- правильный подбор культур и мелиоративных севооборотов в сочетании с различными агротехническими приемами.

3. ТЕХНОЛОГИЯ ПРОИЗВОДСТВА, ОБЕСПЕЧЕНИЕ ЭНЕРГОРЕСУРСАМИ

3.1 Технология производства

3.1.1 Сырьевая база, характеристика сырья

Месторождение «Юбилейное» расположено в Республике Казахстан в Актюбинской области.

Месторождение расположено на территории Мугалжарского района Актюбинской области, в 45 км от ближайшей железнодорожной станции Жем, г.Эмба, с которой связан грейдерной автодорогой. От областного центра г. Актобе месторождение удалено на 250 км к юго-востоку.

Месторождение расположено в южных отрогах Мугоджарских гор, которые представляют собой меридиональной вытянутые небольшие возвышенности с абсолютными отметками 330 — 450 м. К западу, горный ландшафт постепенно сменяется мелкосопочником и переходит во всхолмленную степь. Абсолютная отметка месторождения — 450 м над уровнем моря.

Гидрогеографическая сеть района развита слабо. Вблизи месторождения протекает речка Кундызды, имеющая сравнительно небольшую площадь водосбора и питающаяся в основном за счет весенних паводков, грунтовых вод с малым удельным дебитом и многочисленных ключей, истекающих с водораздельных возвышенностей. В летнее время она пересыхает и превращается в систему отдельных разобщенных плесов.

Климат района резко континентальный с сухим жарким летом и холодной, часто сырой, малоснежной зимой. Близость Аральского моря и Каспия сглаживает температурные градиенты, благодаря чему несколько повышается средняя годовая температура по сравнению с другими районами Республики Казахстан.

Месторождение «Юбилейное» приурочено к штоку биотит — роговообманковых плагиогранит — порфиров, прорывающих базальты и андезито — базальты мугоджарской свиты силлура (S mg), окаймленному интенсивно окварцованными породами.

Золотое оруденение залегает в гидротермально-измененных породах и размещается как по периферийной зоне интрузии, так и в пределах самой интрузии.

блоковая, обусловленная Структура месторождения каркасно северо крутопадающими разломами меридионального И простирания. На площади месторождения широко проявлены и более мелкие нарушения субмеридионального, северозападного, восточного и субширотного направлений. Субширотные разломы считаются Амплитуды смещений пострудными. ПО разломам незначительны. Большинство разломом крутопадающие $(75 - 85^{\circ})$.

На современном эрозионном срезе месторождения выделены 4 крупных рудных тела кварцевых метасоматитов: Центральное, Северное, Западное и Юго-восточное и ряд более мелких. Главные рудные тела крутопадающие (75 – 90°) и имеют протяженность 60 – 140 м, при мощности 5 – 40 м, на глубину прослеживаются до 320 – 500 м. Рудные тела представляют собою штокверковые зоны, зоны, образованные густой сетью прожилков мощностью 0,1 – 10,0 см. Большая часть прожилков сложена дорудным кварцем с магнетитом. Рудные кварц-сульфидные прожилки секут первые или подновляют их, располагаясь в зальбандах или их центральных частях. На отдельных участках сеть прожилков сгущается с образованием сплошных или с редкими реликтами первичных пород, кварцитоподобные образования – кварцевые метасоматиты.

По минеральному составу и количественному соотношению минералов руды месторождения относятся к умеренно сульфидному типу. Основная часть запасов составляют руды, содержащие 65-80 % кремнезема, 6-13% глинозема и 3-10% сульфидов.

Главными минералами первичных руд являются: халькопирит, пирит, магнетит, золото самородное, антимонит; второстепенными: сфалерит, галенит, пирротин, марказит, рутил. Нерудные минералы: кварц, кальцит, доломит, эпидот, альбит, хлорит, актинолит, серицит.

Во вкрапленных кварцево-сульфидных рудах кроме золота, меди и серебра содержатся мышьяк и сурьма 0.001 - 0.1% и цинк 0.01 - 0.2%. Спорадически обнаруживаются молибден, свинец, скандий, галлий, иттрий, иттербий, висмут, вольфрам в пределах до тысячных долей процента.

Отличительной особенностью месторождения является наличие в нем интенсивного прокварцевания, кольцеобразно располагающегося почти по всему экзоконтакту интрузивных тел. Окварцеванием плагиогранит-порфиры, так вмещающие базальты, И однако степень проявления его не одинакова. Наиболее мощные зоны окварцованных пород образовались по биотитовым плагиогранит-порфирам. Руды имеют высокую крепость – 15-18 по шкале Протодьяконова. Вмещающие породы достаточно устойчивы. На устойчивость пород неблагоприятно влияет в некоторой степени трещинная тектоника и многочисленные трещины кливажа.

Плотность руды в массиве составляет для рудных тел:

северного и центрального – 2,71 т/м³,
 западного – 2,79 т/м³,
 юго-восточного – 2,74 т/м³.

3.1.2. Режим работы цехов и расчёт производительности

Производство проектируемой фабрики составляет 2 000 000 тонн руды в год. 305 дней в году работает дробильный цех, в 3 смены по 7 часов. Суточная производиткльность дробильного цеха оставляет:

$$Q_{cyT} = \frac{Q_{roд}}{305} = 6557,4 \text{ T/cyT};$$

Часовая:

$$Q_{\text{vac}} = \begin{array}{c} Q_{\text{cyr}} \\ Q_{\text{vac}} = & 493 \text{ T/vac}; \\ 14*\eta \end{array}$$

где: η - коэффициент, учитывающий неравномерность физических свойств руды (η =0,95)

Главный корпус фабрики работает 365 дней в году. Учитывая коэффициент движения оборудования, равный 93% для расчета суточной производительности, принимаем в соответствии с нормами технического проектирования число рабочих дней в году равным 340, тогда суточная производительность будет:

$$Q_{cyr} = \frac{Q_{rog}}{340} = 5882,3 \text{ T/cyt};$$

Часовая:

$$\begin{array}{rcl} Q_{cyr} & Q_{cyr} \\ Q_{uac} = & ---- = & 258 \text{ T/u}; \\ 24*\eta & & \end{array}$$

Синхронно с главным корпусом работает цех обезвоживания.

3.1.3 Краткий анализ работы действующей фабрики

Схема фабрики для золото-медной руды предусматривает двухстадиальное дробление руды, двузстадиальное измельчение, классификацию в гидроциклонах в замкнутом цикле.

Схема флотации принята коллективно-селективная, с выделением коллективного золото-медного концентрата, а затем с его селекцией на медный и золотой концентраты.

3.1.4 Выбор и обоснование технологической схемы

В основу технологии проектируемой фабрики положена схема и режим действующей обогатительной фабрики.

Схема включает:

- А) две стадии дробления
- Б) две стадии измельчения с замкнутым циклом в обеих стадиях: в первой стадии измельчение до 70% класса крупностью -74 мкм, во второй стадии до 65% класса крупностью -74 мкм;
- В) коллективнную золото-медную флотацию с тремя перечистками и одной контрольной флотацией;
- Г) основную медную флотацию с двумя перечистками и одной контрольной флотацией;
- Д) основную цинковую флотацию с тремя перечистками и одной контрольной флотацией;
- Е) обезвоживание концентрата, осуществляемое в две стадии: сгущение концентрата и фильтрование концентрата.

3.1.5. Выбор и расчет схемы дробления

Для проектируемой фабрики принимается трехстадиальная схема дробление с преварительным грохочением во второй и третьей стадиях.

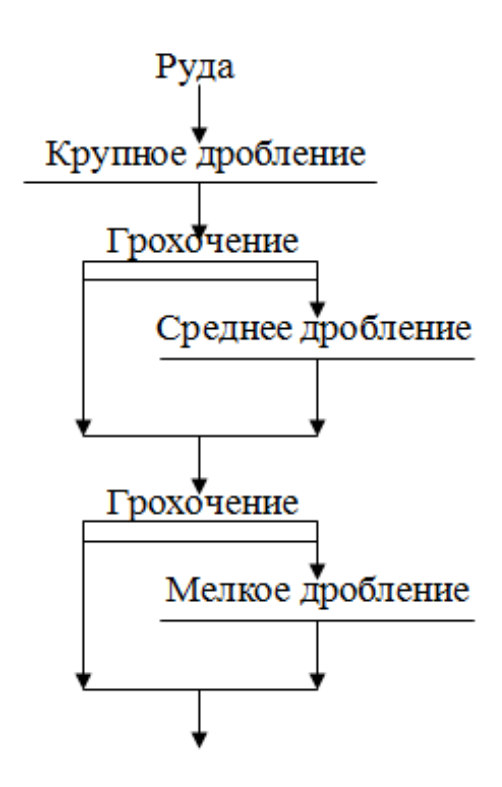


Рисунок 1 – Трехстадиальная схема дробления

Трехстадиальная схема дробления принята по следущим причинам:

- Крепкость рцды по шкале Протодьяконова-13;
- Начальная крупность руды-780 мм;

- Конечная крупность-13 мм;
- Общая степень дробления-15,3
- Плотность руды- $3,1 \, \Gamma/\text{см}^3$;
- Насыпная плотность- 1,82 г/см³;
- Влажнеть руды- 5%.

Расчет схемы дробления

$$S_{\text{общ}} = \frac{D_{\text{max}}}{d_{\text{H}}}$$

$$S_{\text{общ}} = \frac{780}{13}$$

Средняя степень дробления: $S_{cp} = {}^{3}\sqrt{S_{oбщ}} = {}^{3}\sqrt{S60} = 4$ Частные степени дробления:

 $S_{\text{общ}}=S_1*S_2*S_3$;

 $S_1 = 4,31$;

 $S_2 = 3.9$;

 $S_3 = 3,57$;

1) Крупность дробленых продуктов по стадиям составит:

в первой стадии – $d_I = D_{max} / S_I = 780 / 4.31 = 180,75$ мм;

во второй стадии $-d_{II} = d_{I} / S_{II} = 180,75 / 3.9 = 46,35$ мм;

в третьей стадии – $d_{III} = d_{II} / S_{III} = 46,35 / 3.57 = 13$ мм принимаем 13мм.

2)Размеры щелей дробилок определяется по формуле:

$$i_p = {d_I \over -----}, MM;$$
 Z_I

$$I_{1} \! = d_{I} \: / \: Z_{I} \! = 180,\!75 \: / \: 1.5 = 120,\!5 \: \text{mm}.$$

$$I_2 = d_{II} / Z_{II} = 46,35 / 1.2 = 38,62 \text{ mm}.$$

Величину Z принимаем по типовым характеристикам для соответствующих стадий и крепости руды.

- 1) Размеры отверстий грохота и эффективность грохочения $a_{II} = 13$ мм. $E_{II} = 85\%$.
- 2) Ситовой состав руды приведен в таблице 2.

Таблица 1 — Типовая характеристика крупности продукта 3, $d_{\scriptscriptstyle H}\!\!=\!\!10$ мм, $i_{\scriptscriptstyle p}\!\!=\!\!120,\!5$ мм

Определяемый класса в	Крупность, мм	Выход класса	Выход класса по «-
долях, ір		по «+» %	» %
0,2 * i _p	24	92	8
0,4 * i _p	48,2	70	30
0,8 * i _p	96,4	40	60
1,2 * i _p	144,6	29	71
$Z_1 * i_p$	180,75	2	98

График ситовой характеристики по плюсу приведен на рисунке 3

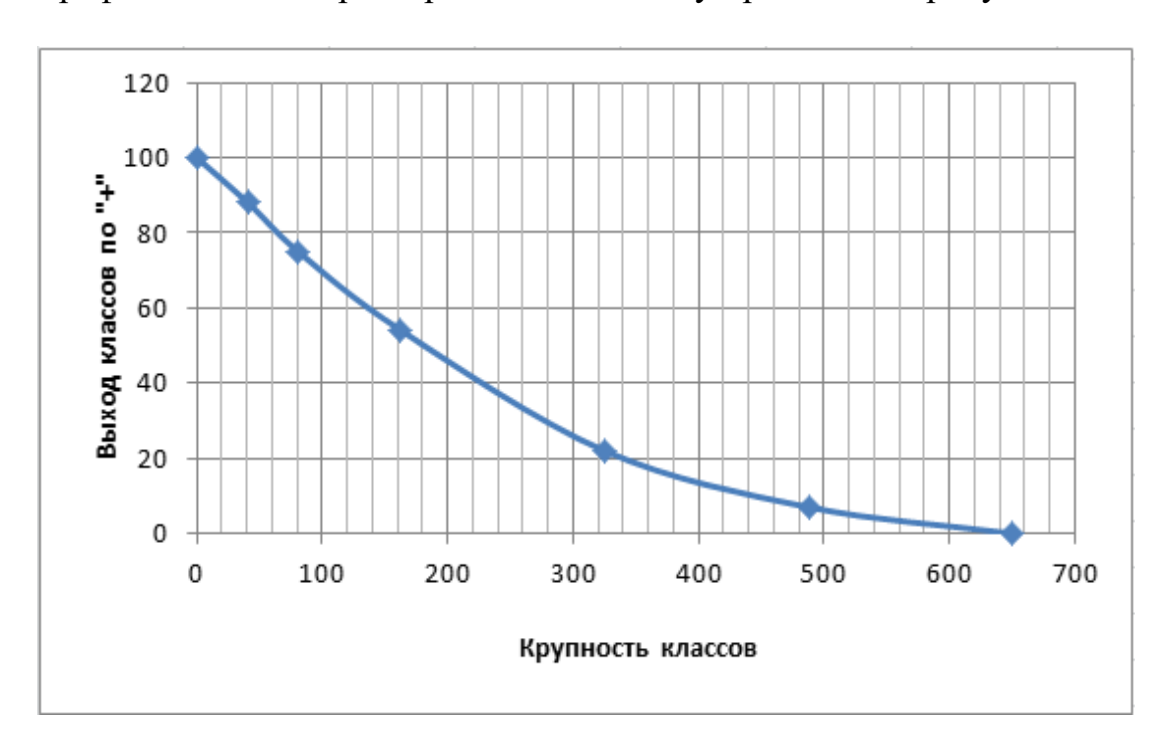


Рисунок 3 – График ситовой характеристики по плюс

Таблица 2 – Расчетной характеристики крупности продукта 4

Крупность	Расчетный выход класса по «-», %	Выход класса
класса, мм		по «+», %
24	$\beta_4^{-24} = \beta_0^{-24} + b_0^{+120,4} * \beta_3^{-24} = 15 + 0,64 * 8 = 20.1$	79.9
48,2	$\beta_4^{-48,2} = \beta_0^{-48,2} + b_0^{+120,4} * \beta_3^{-48,2} = 23 + 0.64*30 = 42.2$	57.8
96,4	$\beta_4^{-96,4} = \beta_0^{-96,4} + b_0^{+120,4} * \beta_3^{-96,4} = 30 + 0.64*60 = 68.4$	31.6
144,6	$\beta_4^{-144,6} = \beta_0^{-144,6} + b_0^{+144,6} * \beta_3^{-144,6} = 48 + 0.52*71 = 85$	15
180,75	$\beta_4^{-180,5} = \beta_0^{-180,5} + b_0^{+180,5} * \beta_3^{-180,5} = 56 + 0.44*98 = 97,12$	2.88

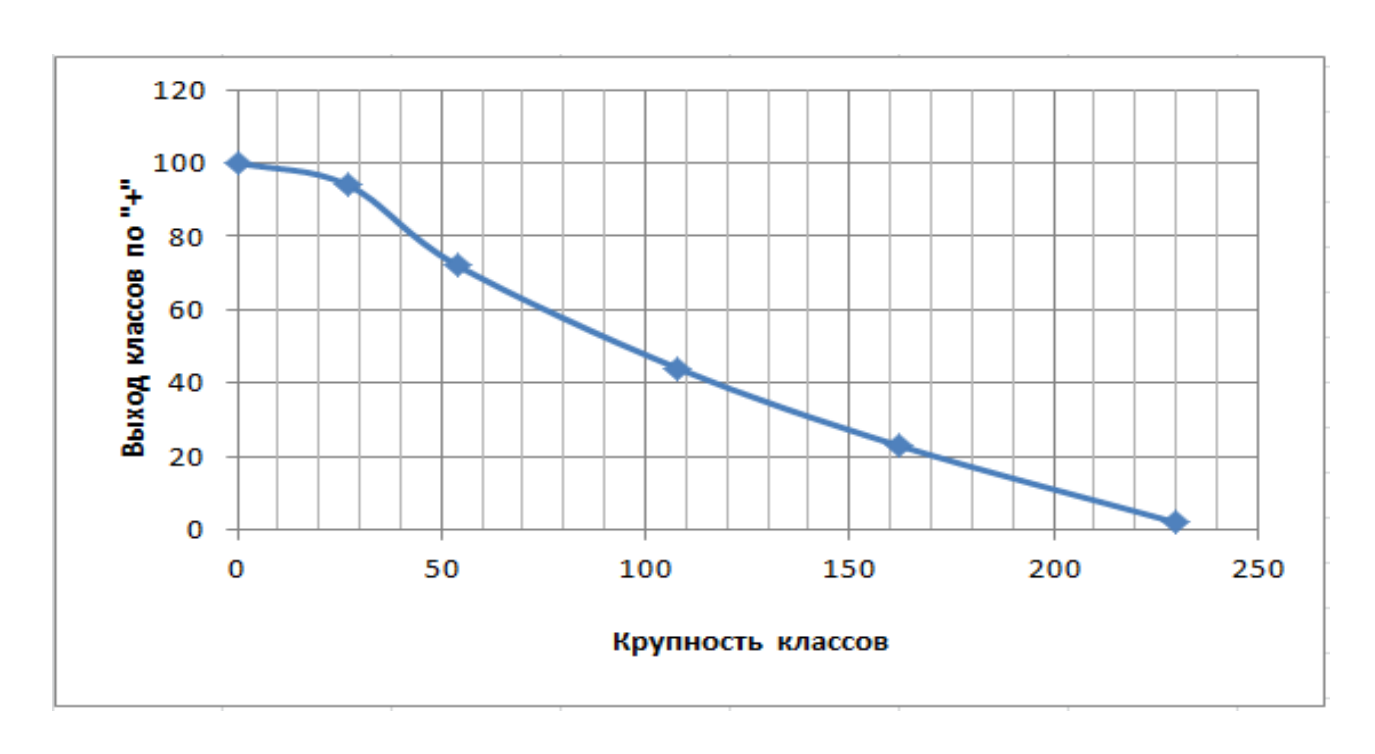


Рисунок 4 – Характеристика крупности продукта 4

Таблица 3 – Таблица типовой характеристики крупности продукта 7

Определяемый класс, в долях d _н	Крупность класса, мм	Выход класса по «+», %	Выход класса по «-», %
0.2 * d _H	9,27	63	37
0.4 * d _H	18,5	40	60
0.6 * d _H	27,81	21	79
0.8 * d _H	37,08	11	99
1.0 * d _H	46,35	4	96

Таблица 4 – Расчетной характеристики крупности продукта 8

Крупность	Расчетный выход класса по «-», %	Выход класса
класса, мм		по «+», %
9,27	$\beta_8^{-9,27} = \beta_4^{-9,27} + b_4^{+38,62} * \beta_7^{-9,27} = 3 + 0.67*37 = 27,8$	64
18,5	$\beta_8^{-18,5} = \beta_4^{-18,5} + b_4^{+38,625} * \beta_7^{-18,5} = 8 + 0.67*60 = 48,2$	51,8
27,81	$\beta_8^{-27,81} = \beta_4^{-27,81} + \beta_4^{+38,625} * \beta_7^{-27,81} = 22 + 0.67*79 = 75$	25
37,08	$\beta_8^{-37,08} = \beta_4^{-37,08} + \beta_4^{+38,625} * \beta_7^{-37,08} = 36 + 0.67*89 = 95.6$	4,4
46,35	$\beta_8^{-46,35} = \beta_4^{-46,35} + \beta_4^{+46,35} * \beta_7^{-46,35} = 45 + 0.58*96 = 100$	0

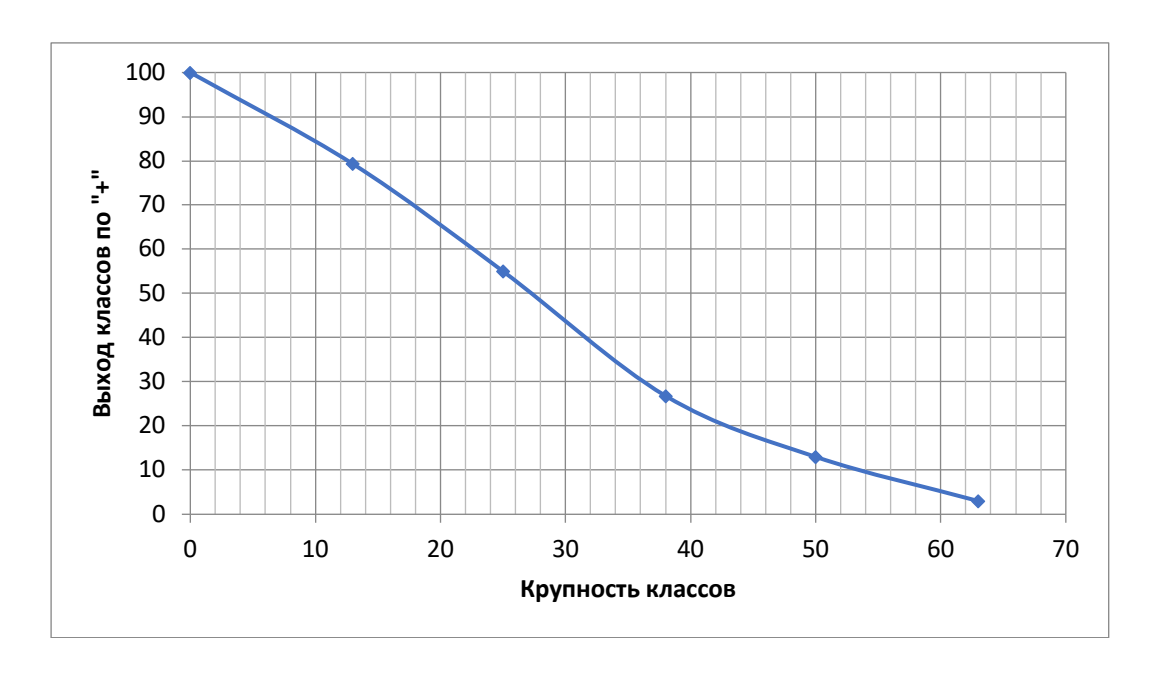


Рисунок 5 - Характеристика крупности продукта 8

Расчитываем количество продуктов для 3 стадии дробления.

По графику ситовой характеристики продукта 8, рисунок 5 определяем: $\beta_8^{-13} = 38\%$

Определяем количество продукта 9:

 $Q_9 = Q_0 * \beta_8^{-13} * E_{iii} = 493*0,38*0,85=159,2 \text{ T/Y}$

Определяем количество продукта 10:

 $Q_{10} = Q_0 - Q_9 = 493 - 159, 2 = 333, 8 \text{ T/Y}$

3.1.6 Выбор и расчёт схемы измельчения

В проекте принимаем двухстадиальную схему измельчения в замкнутым цикле в обоих стадиях и с делительной классификацией во второй стадии.

Для успешного ведения процесса флотации необходимо получить помол 85% класса — 0.074мм.

В первой стадии измельчения устанавливаем шаровые мельницы, так как номинальная крупность питания 10 мм, содержание готового класса в питании 10%.

Научно-исседовательские работы показали, что шаровые мельницы работают более эффективно в замкнутом цикле.

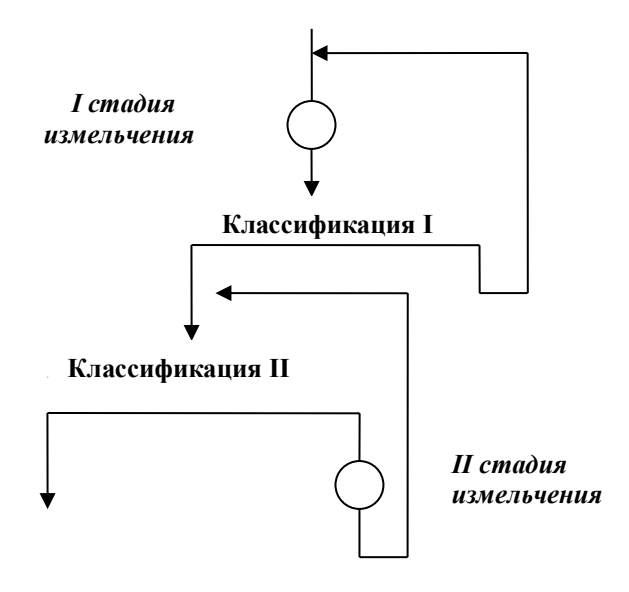


Рисунок 5 - Проектируемая схема измельчения

Расчет схемы измельчения

- 1) Циркулирующую нагрузку, исходя из опыта действующей фабрики, принимаем : C_1 =193%, C_2 =293
 - 2) Находим выхода продуктов измельчения.

Известны величины:

$$\gamma_0=100 \%$$
; $\gamma_0=\gamma_1=100\%$; $\beta_6^{-74}=85\%$

Определяем содержание готового класса в конечном продукте 1 стадии измельчения по формуле:

$$\beta_{3}^{-74} = \beta_{0}^{-74} + \frac{\beta_{0}^{-74} - \beta_{0}^{-74}}{1 + k m}$$

k - отношение приведенного объема мельницы второй стадии к объему мельниц первой стадии;

m - отношение удельной производительности по классу 0.074 мм во второй стадии к удельной производительности по этому же классу в первой стадии.

$$\beta_3^{-74} = 10 + \frac{85 - 10}{1 + 1 * 0.7} = 54,12 \%,$$

3) Производим перерасчет на абсолютные показатели Количество продуктов определяем по формуле:

$$Q_n = \gamma_n * Q_0 / 100\%$$
.

Результаты расчета схемы измельчения заносим в таблицу 5

Таблица 5- Результаты расчета схемы измельчения

№ продукта	Выход, %	Количество
		т/ч
γ0	100	258
γ1	293	755,9
γ2	293	775,9
γ3	100	258
γ5	338,5	1685,4
γ6	100	258
γ ₇	338,5	4019,6
γ8	338,5	1685,4

3.1.7. Расчет баланса металлов и количественной схемы обогащения

Расчет баланс металлов и количественной схемы обогащения приведен в таблипе 6.

Таблица 6 – Баланс металлов

Наименование	Выход,	Содержание,		Произве	едение,	Извлечение,		
продуктов	%	%		%		%		
		Cu	Au	Cu	Au	Cu	Au	
Cu,Au	5,52	15	92,39	82,65	510	92	85	
концентрат								
Хвосты	94,48	0,08	0,95	7,4	90	8	15	
Руда	100	0,9	6	90	600	100	100	

Расчет схемы выполнен стандартным путем составления и решения уравнения баланса по твердому и основному металлу. Коллективная флотация рассчитана по меди, селективная по золоту.

Принципиальная схема флотации приведена на рисунке 7

3.1.8 Выбор схемы обезвоживания

Обезвоживанию подвергаются флотационные концентраты крупностью 85% класса -74 мкм. В связи с тем, что готовый концентрат транспортируется на ближайший медьзовод содержание влаги в концентрате может составить 10%. Такая степень обезвоживание достигается в 2 стадии.

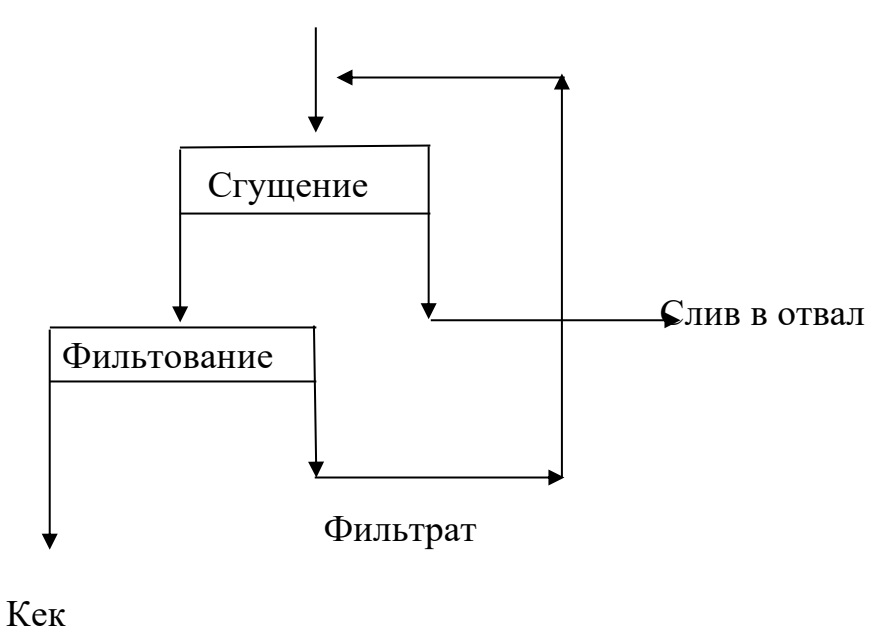


Рисунок 7 – Схема обезвоживание

3.1.9 Расчёт водно-шламовой схемы

Водно-шламовая схема рассчитана на часовую производительность по руде 493 т/ч. Выхода и количество продуктов обогащения приняты по результатам расчета количественной схемы. Содержание твердого в продуктах переработки принято:

риоотки припито.	
1) Исходная руда	95%
2) Пески гидроциклона I классификации	79%
3) Выгрука мельницы I стадии	75%
4) Пески гидроциклона II классификации	75%
5) Выгрука мельницы II стадии	70%
6) Пески делительной классификации	62%
7) Концентраты:	
Основной флотации	36%
Контрольной флотации	27%
I Перчистка	35%
II Перечистка	38%
III Перечистка	40%
8) Сгущенный концентрат	63%
9) Кек	80%

Таблица 7 – Расчет водно-шламовой схемы

		ПОСТУП	AET			ВЫХОДИТ					
Наименование продукта	Выход, %	Содержание твердого, %	Масса твердого, т/ч	Масса воды, т/ч	Объем пульпы, м ³ /ч	Наименование продукта	Выход, %	Содержание твердого, %	Масса твердого, т/ч	Масса воды, т/ч	Объем пульпы, м ³ /ч
				І. Измельчен	ие I стадии						
Руда	100	95	258	13,6	108,4	Выгрузка мельницы I стадии	293,3	70	756,7	324	602,2
Пески гидроциклона I	193.3	83	498.7	102.1	285.5						
Вода	-	-	-	208,3	208,3						
Итого	293,3	70	756,7	324	602,2	Итого	293,3	70	756,7	324	602,2
						ии измельчения					
Слив мельницы I стадии	293,3	70	756,7	324	602,2	Слив гидроциклона I	100	54	258	219,7	314,5
Вода	-	-	-	2,16	-	Пески гидроциклона I	193,3	83	498,7	102,14	285,5
Итого	293,3	70	756,7	321,8	602,2	Итого	293,3	70,15	756,7	321,84	602,2
				III. Клас	сификация II	стадии измельчен	- RNH				
Слив гидроциклона I	100	54	258	219,7	314,5	Слив гидроциклона II	100	30	258	602,2	696,8
Выгрузка мельницы II	238,5	70	615,3	263,7	489,9	Пески гидроциклона II	238,5	80	615,3	153,8	380
Вода	-	-	-	272,4	-						
Итого	338,5	53,6	873,3	755,8	1077	Итого	338,5	53,6	873,3	755,8	1077
				IV. Из	вмельчение II	стадия					
Пески гидроциклона II	238,5	80	1615,3	153,8	380	Выгрузка мельницы II стадии	238,5	70	615,3	263,7	489,9
Вода	-	-	-	109,9	-						
Итого	238,5	80	615,3	263,7	489,9	Итого	238,5	70	615,3	263,7	489,9

Продолжение таблицы 7

				(Основная фло	тация					
Слив гидроциклона II	100	30	258	602,2	696,8	Концентрат основной флотации	10,92	30	72	168	194
Хвосты I перечистки	15,1	20	101	406	443						
Концентрат контр.флотации	32,48	27	213	576	652	Хвосты основной флотации	71,56	29	469	1170	1337
Вода	-	-	-	27	27						
Итого	147,9	77	572	1611	1818,8	Итого	82,48	29	541	1338	1531
	•	·	•	•	I Перечисть	ca .	•		•	•	
Концентрат основной флотации	10,92	30	72	168	194	Концентрат I перечистки	14,3	35	94	175	209
Хвосты II перечистки	12	25	79	233	262	Хвосты I перечиски	15,4	20	101	406	443
Вода	-	-	-	98	98						
Итого	29,7	25	195	581	652	Итого	29,7	25	195	581	652
					I Перечистка						
Концентрат II перечистки	14,.3	35	94	175	209	Концентрат II перечистки	6,4	38	42	69	84
Хвосты III перечистки	4,1	29	27	67	77	Хвосты III перечистки	12	25	79	233	262
Вода	-	-	-	60	60						
Итого	18,4	29	212	302	346	Итого	18,4	29	121	302	346
					III Перечист	ка					
Концентрат II перечистки	6,4	38	42	69	84	Концентрат III перечистки	2,3	40	15	23	28
Вода	-	-	-	21	21	Хвосты II перечистки	4,1	29	27	67	77
Итого	6,4	38	42	90	105	Итого	6,4	38	42	90	105

Продолжение таблицы 7

					Контрольная	флотация					
Хвосты основной флотации	71,56	29	469	1170	1337	Концентрат контрольной флотации	32,48	27	213	576	652
Вода	-	-	-	213	213	Хвосты контрольной флотации	71,56	29	469	1170	1337
Итого	71,56	29	469	1383	1550	Итого	104,4	56	682	1746	1989
					V. Сгущени	e					
Концентрат III перечистки	2,3	40	15	23	28	Сгущенный концентрат	2,3	40	15	10	15
Фильтрат	-	-	-	6	6	Слив в сгуститель	-	-	-	19	19
Итого	2,3	40	15	29	34	Итого	2,3	40	15	29	34
	•				VI. Фильтра	иция		•	•		
Сгущенный концентрат	2,3	40	15	10	15	Кек	2,3	80	15	4	9
						Фильтрат	-	-	-	6	6
Итого	2,3	40	15	10	15	Итого	2,3	40	15	10	15

Таблица 8 – Баланс воды по рассчитанной схеме

ПОСТУПА	ET	ВЫХОДИТ				
Наименование продуктов	Масса продуктов , т/ч	Наименование продуктов	Масса продуктов , т/ч			
Вода с рудой	13.6	Слив сгустителя	29			
Вода в измельчение І стадии	208.3	Слив сс концентратом	29			
Вода в классификацию I	2.16	С отвальными хвостами	956.36			
Вода в классификацию II	272.4					
Вода в измельчение II стадии	109.9					
В основную Си флотацию	27					
В І перечистку	98					
Во II перечистку	60					
Основная Аи флотация	25					
В І перечистку	98					
Во II перечистку	60					
В III перечистку	21					
Итого	995.36	Итого	995.36			

Расход воды на хозяйстенно-бытовые нужды 10 % от технологической – 260 т/ч.

Общий расход воды 2589+260=2849 т/ч.

В том числе: оборотной 50 % – 1295 т/ч.

Удельный расход воды рассчитываем по формуле:

Часовой расход воды
Удельный расход воды = ------,
$$M^{3/}$$
т;
Часовая переработка руды

Удельный расход воды = ---- = 4
$$^{3/}$$
 т. 655

В том числе свежей воды $2 \text{ м}^{3/}$ т.

3.1.10 Выбор и технологический расчёт основного оборудования

3.1.10.1 Оборудование для дробления

Часовая производительность отделения крупного дроюления составляет 493 т/ч

При максимальной крупности исходной руды $D_{max} = 780$ мм подходит стандартная дробилка ЩДП-12х15

Значения коэффициентов:

- 1) при f = 15 коэффициент $K_f = 1$;
- 2) коэффициент К_к для этого типоразмера дробилки составит:

при 0.5*B = 0.5*1500 = 780 мм и $\beta_0^{+600} = 8$ % коэффициент $K_{\kappa} = 1-(1-1.8)*(8-5)/(10-5)=1.03$;

3) при W = 5 % коэффициент $K_w = 0.9$.

Для $K_3 = 0.85$ по формуле (10) рассчитаем разгрузочное отверстие:

Где, i_n – размер разгрузочного отверстия дробилки, мм;

 $K_{\rm f}$ – коэффициент, учитывающий крепость руды по М. Протодьяконову;

К_к – коэффициент, учитывающий крупность питания;

 K_{ω} – коэффициент, учитывающий влажность руды;

К_ц – коэффициент замкнутого цикла дробления;

 q_{min} — производительность дробилки при минимальной величине разгрузочного отверстия, ${\rm M}^3/{\rm u}$;

 q_{max} — производительность дробилки при максимальной величине разгрузочного отверстия, $m^3/4$;

 $\delta_{\rm H}$ – насыпная плотность руды, т/м³.

$$i_p = 110 + \frac{419 - 1 * 1.03 * 0.9 * 1.82 * 230}{(400 - 230) * 1 * 1.03 * 0.9 * 1.82} * (190 - 110) = 120.4 \text{ mm}.$$

Т.к. $i_p < i_{min}$, то $i_p = i_{\text{H}} = 120.4$ мм.

В этом случае крупность дробленого продукта в первой стадии по формуле составит:

$$d_{\scriptscriptstyle H} = i_n * Z_n, \, {\rm MM};$$
 $d_{\scriptscriptstyle I} = 120,4 * 1,5 = 180,75 \, {\rm MM}.$

Для этого варианта степени дробления составят:

$$S_I = 780 / 180,75 = 4.31;$$

$$S_{II} = 3.9;$$

$$S_{\text{III}} = \frac{60}{4.31*3.9} = 3.57$$

Производительность дробилки, рассчитанная в соответствии с формулой, составит:

$$\begin{aligned} Q_p &= K_f * K_k * K_w * \left[q_{min} + - - - - *(i_p - i_{min}) \right] * \delta_{_H} \;, \, _{T/_{\Psi}}; \\ & i_{max} - i_{min} \end{aligned}$$

 Γ де, i_n – размер разгрузочного отверстия дробилки, мм;

 $K_{\rm f}$ – коэффициент, учитывающий крепость руды по М. Протодьяконову;

К_к – коэффициент, учитывающий крупность питания;

 K_{ω} – коэффициент, учитывающий влажность руды;

 q_{min} — производительность дробилки при минимальной величине разгрузочного отверстия, M^3/Ψ ;

 q_{max} — производительность дробилки при максимальной величине разгрузочного отверстия, м³/ч;

 $\delta_{\rm H}$ – насыпная плотность руды, т/м³.

 i_{max} — пределы регулирования при максимальной величине разгрузочного отверстия, мм

 i_{min} – пределы регулирования при минимальной величине разгрузочного отверстия, мм.

$$Q_p = 1*1,03*0,9*230=213,21$$
 T/4

Коэффициент загрузки, рассчитанный в соответствии с формулой, составит:

$$K_3 = \frac{Q_\Pi}{Q_p}$$

Где, Q_n – часовая производительность цеха дробления, т/ч; Q_p – расчетная производительность дробилки.

$$K_3 = \frac{493}{213.2}$$

Для среднего дробления, при крупности питания 180 мм, выбираю дробилку КСД–1200–Гр.

Рассчитываю выход продуктов и загрузку дробилок II стадии дробления. Отсеваемый класс -55 мм. Содержание отсеваемого класса в продукте 4 $\beta_4^{-55} = 50\%$. Масса отсеваемого класса определяется в соответствии с формулой:

$$Q_5 = Q_4 * \beta_4^{-75} * E_{II}$$

$$Q_5 = 493 * 0.5 * 0.8 = 197.2 \text{ T/H}.$$

Загрузка дробилки составит:

$$Q_6 = Q_4 - Q_5 = 493 - 197.2 = 295.8 \text{ T/y}.$$

Количество дробилок $N = Q_6/Q_p = 295.8/213,21 = 2$ шт. Коэффициент загрузки $K_3 = Q_6/(Q_p * N) = 295,8/(213,21 * 2) = 0.69$.

Для мелкого дробления, при крупности питания 55 мм, выбираю дробилку КИД-2200.

Дробилка КИД устанавливается с предварительным грохочением.

Отсеваемый класс -13 мм. $\beta_8^{-13} = 38\%$. Масса отсеваемого класса составит:

$$Q_9 = Q_0 * \beta_8^{-12} * E_{III} = 493 * 0.38 * 0.85 = 159.2 \text{ T/y}.$$

Нагрузка на дробилку:

$$Q_{10} = Q_8 - Q_9 = 493 - 159.2 = 333.8 \text{ T/y}.$$

Производительность дробилки КИД рассчитывается по формуле:

$$Q_p = K_f * Q_n * \delta_{\scriptscriptstyle H}$$

$$Q_p = 1 * 150 * 1.82 = 273 \text{ T/y}.$$

Количество дробилок:

$$N = 493/272 = 2 \text{ IIIT}.$$

Коэффициент загрузки:

$$K_3 = 333.8/(2*273) = 0.65.$$

Таблица 11 – Сводная таблица устанавливаемых дробилок

Показатели	I стадия	II стадия	III стадия	
	дробления	дробления	дробления	
Типоразмер дробилки	ЩДП-12x15	КСД-1200Гр	КИД-2200	
Ширина приемной щели	1200	185	110	
(B), MM				

Пределы регулирования	140-150	20–50	
разгрузочного отверстия,			
MM			
Наибольший размер куска в	1000	150	110
питании, мм			
Крупность дробленного	180,75	75	12
продукта, мм			
Расчетная	213,21	180	273
производительность на			
одну дробилку, т/ч			
Расчетная	426,42	360	546
производительность всех			
дробилок, т/ч			
Количество дробилок	2	2	2
Коэффициент загрузки	2,13	0.69	0.65
дробилок			

3.1.10.2 Выбор оборудования для грохочения

В стадиях среднего и мелкого дробления к установке принимаются вибрационные грохоты тяжелого типа. Необходимая площадь грохочения рассчитывается по формуле:

$$\begin{array}{c} Q \\ F = -----, \ _{T}/_{Y} \\ q * \delta_{_{H}} * K * L * M * N * O * P \end{array}$$

1) Грохот для стадии среднего дробления. Размер отверстия сетки грохота $a_{II}=50$ мм. Значение q_0 составляет $q_0=42+(50-42)*(50-50)/(80-50)=42$ м²;

Для определения коэффициента K находим по ситовой характеристике продукта 4 содержание класса а/2 = 50/2 = 25 мм — $\beta_4^{-25} = 22$ %. Для $\beta^{-25} = 22$ % значение коэффициента K составит:

$$K = 0.6 + (0.8 - 0.6)*(22 - 20)/(30 - 20) = 0.62.$$

Для определения коэффициента L находим по ситовой характеристике продукта 4 содержание класса a = 55 мм $-\beta_4^{+55} = 65$ %.

Для $\beta^{-55} = 65 \%$ значение коэффициента L составит:

$$L = 1.08 + (1.55 - 1.32)*(65 - 70)/(70 - 60) = 1.18.$$

Значение коэффициента M для эффективности грохочения 80 % составит M=1.35.

Значения коэффициентов N, O, P принимаются равными 1. По формуле рассчитаем необходимую площадь грохочения:

$$F_p = \frac{493}{42 * 1.82 * 0.64 * 1.18 * 1.35 * 1 * 1 * 1} = \frac{493}{77,9} = 6.33 \text{ m}^2 \,.$$

Если принять на каждую дробилку КСД по одному грохоту, площадь сита составит 8 m^2 . Грохот с большей просеивающей поверхностью ГИТ– $61 \text{ c F} = 8 \text{ m}^2$ в количестве 2 штуки.

2) Грохот для стадии мелкого дробления. Размер отверстия сетки грохота $a_{III}=13$ мм. Значение q_0 составляет $q_0=26{,}25$ м 2 /ч

Значения буквенных показателей формулы составят:

$$\begin{array}{l} q_0 = 26,\!25 \text{ M}^2/\text{H} \\ \delta_{\text{H}} = 1.82 \text{ T/M}^3; \\ \beta_8^{-6} = 30 \text{ \%, K} = 0.53; \\ \beta_8^{+13} = 62 \text{ \%, L} = 0,\!94 + (0,\!97 - \!0,\!94) * (13 - \!10) / (20 - \!10) = \!0,\!95 \\ E_{\text{III}} = 85 \text{ \%, M} = 1.18; \\ N, O, P = 1.0. \end{array}$$

$$F_p = \frac{493}{26,25*1.82*0.53*0.95*1.18*1*1*1} = \frac{493}{28,38}$$

Если принять по одному грохоту на каждую дробилку, то необходимая площадь грохота составит $17,37/2=8,68~\text{m}^2$. Принимается грохот ГИТ–61 с $F_=8~\text{m}^2$ в количестве 2 штуки.

Окончательные выводы о целеобразности того или иного варианта могут быть сделаны после выполнения расчетов измельчительного передела

3.1.10.3 Выбор оборудования измельчения

В соответствием с принятой схемой измельчения $d_{\scriptscriptstyle H}$ = 12мм и склонность к ошламованию медных минералов целесообразно в обеих стадиях применение шаровых мельницы с разгрузочной через решетку.

За эталон принимаем шаровую мельницу, установленную на фабрики размерами 3200х3100.

Эталонные условия:

- диаметр D=3 мм;
- объем V=22,5 м³;
- шаровая загрузка Ф=45,5% от объема мельницы;
- число оборотов у=80% от критической;

—удельная производительность по готовому классу -74 мкм q_9 =1.1т/ m^3 ч. I стадия измельчения. Часовая производителность по исходномй руде $Q_{\rm H}$ = 493 т/ч, содержание готового класса -74 мкм в исходной руде $\beta_{\rm H}^{-74}$ =9%; содержание готового класса -74мкм после I стадии $\beta_{\rm K}^{-74}$ = 51%.

Расчет выполняется по удельной производительности.

Для сравнения принимаются следующие типоразмеры мельниц:

- 1) MШP-55x65 c $V = 141 \text{ m}^3$;
- 2) MШP- $45x65 \text{ c V} = 86 \text{ m}^3$;
- 3) MIIIP- $45x50 \text{ c V} = 71 \text{ m}^3$;
- 4) MIIIP- $40x50 \text{ c V} = 55 \text{ m}^3$.

Удельная производительность принятых мельниц рассчитывается по формуле :

$$q_{-74} = q_{9} * K_{H} * K_{K} * K_{T} * K_{D} * K_{L} * K_{\phi} * K_{\psi}, T/(M3*q).$$

Определим поправочные коэффициенты для мельницы МШР–40x50. Коэффициент $K_{\rm M}$ определяем:

$$K_{\rm H} = K_{\rm f \, np} / K_{\rm f \, \, 9T} = 0.88 / \, 1.41 = 0.62.$$

Коэффициент Кк определяем:

$$K_K = m_2 / m_1 = 0.99 / 0.975 = 1.015.$$

Коэффициент $K_T = 1.0$, т.к. проектируемая и эталонная мельницы однотипны.

Коэффициенты K_{ϕ} и K_{ψ} принимаем равными 1.0, т.к. принимается, что проектируемая мельница работает в режиме эталонной.

Для мельницы МШР–45x50 коэффициент K_D определяем по формуле :

Коэффициент К_L определяем по формуле (20):

Удельная производительность мельницы МШР–40х50 составит:

$$q_{\text{-74}} = 1.1 \, * \, 0.62 \, * \, 0.92 \, * \, 1.0 \, * \, 1.19 \, * \, 1.52 \, * \, 1.0 \, * \, 1.0 = 1.30 \, \, \text{T/(m3*y)}$$

для МШР–40х50:

$$\begin{array}{c} V & 55 \\ Q_m = q_{-74} * ---- = 1,30 * ---- = 155,4 \text{ T/y}; \\ \beta_K^{-74} - \beta_H^{-74} & 0.53 \ -0.07 \end{array}$$

V=55 м3- объем мельницы

Вк=53%- содержание готового класса в конечном продукте после I стадии измельчения.

βн=7%- содержание готового класса в питании мельницы I стадии.

Необходимое количество мельниц І стадии.

$$Q_0$$
 258 N=----= 2 шт, где Q_0 часовая производительность Q_m 155,4 измельчения;

Производим проверку мельницы по пропускной способности:

Коэффициент загрузки определяем по формуле:

$$K_3 = \frac{Q_{\text{M}}}{N^*Q_0} = \frac{258}{2^*155.4}$$

Производим расчет остальных типоразмеров мельниц. Сравнение вариантов установки различных типоразмеров мельниц приведено в таблице10

Таблица 13 – Таблица сравнения мельниц

Типоразмер	Кол-во,	Мощность, кВт		Пропускная	Коэффициент
мельницы	шт.	Единицы Всех		способность,	загрузки
				$T/(M^{3}*4)$	
МШР-55х65	1	4000	8000	6,4	0,53
МШР-45х65	1	2500	5000	7,9	0.68
МШР-45х50	2	2500	7500	6,9	0.60
МШР-40х50	2	2000	6000	8,91	0.83

Из таблицы 13 видно, что наиболее оптимальным вариантом является установка двух мельниц МШР–40х50, имеющих лучшие показатели по пропускной способности и коэффициенту загрузки. Установка в первой стадии мельниц МШР–40х50 в количестве 2 шт.

II стадия измельчения. Во второй стадии наиболее целесообразно установить мельницы МШР-40х50 в количестве 2 штук, это предусмотренно при расчёте количественной схемы измельчения.

Производительность мельниц второй стадии рассчитывается по формуле:

$$Q_{P} = \frac{q_{-74} * m * V}{\beta_{K}^{-74} - \beta_{H}^{-74}},$$

значение "m" в формуле (22) рекомендуется принимать в пределах 0.6÷0.8 при среднем значении m = 0.7.

$$Q_P = \frac{1.30*0.7*55}{0.85\text{-}0.53} \frac{50,05}{0.21}$$

Количество мельниц составит N = 258/156 = 2 шт., коэффициент загрузки составит $K_3 = 258/(2*156) = 0.82$.

Установка во второй стадии мельниц МШР-45х50 в количестве 2 шт. обеспечивает необходимую производительность.

3.1.10.4 Оборудования классификации

Выбор гидроциклонов.

По данным водно-шламовой схемы расчитываем гидроциклон для классификации І стадии:

$$V_{\Pi}=V_{\#}+V_{TB}=W_{2}+L_{\Pi}+----=602,2\,\,{
m M}^{3}/{
m H}.$$
лого в питании гилрошиклона составит:

Содержание твердого в питании гидроциклона составит:

$$T_{\Pi}$$
=-----= 54%. $Q_{\Pi U T} + W_{\Pi} + L$

На одну секцию измельчения объем пульпы в питании составит:

$$V_{\text{секц}} = V_{\text{п}}/N = 602,2/2 = 301,1 \text{ M}^3/\text{ч}.$$

Номинальная крупность слива гидроциклона с содержанием 51% класса -0.074мм в соответствии составит:

$$R_{+74}=100-\beta_c^{-74}=100-54=46\%,$$

Граничная крупность слива в соответствии составит:

 $d_{\Gamma} = d_{H}/1.75 = 163 \text{MKM}.$

Исходя из ответа такая граничная крупность обеспечивается гидроциклоном с D=710мм.

Объемная производительность гидроциклона для P_0 =0.1МПа составит:

$$V = 3 * K_{\alpha} * K_{D} * d_{\Pi} * d_{C} * P_{0}^{0.5} = 3*1.0*0.95*15*20*0.1^{0.5} = 270.4 \text{m}^{3}/\text{y}.$$

Необходимое количество гидроциклонов Ø=710 на одну секцию составит:

$$N = V_{CEKII}/V = 301, 1/270.4 = 2mt.$$

С учетом двух резервных гидроциклонов в каждой секции устанавливается четыре гидроциклона ГЦ-710.

Граничная крупность слива определяется по формуле:

$$d_{\Gamma} = 1.5 \, * \, \backslash \, / \, \frac{D \, * \, d_{C} \, * \, T_{\Pi}}{ \, \vee \, \Delta \, * \, K_{D} \, * \, P_{0}^{0.5} \, * \, (\delta_{T} - 1)} \, , \ \, \text{Mkm}; \label{eq:delta}$$

Где, d_{Γ} – граничная крупность слива, мкм;

D – диаметр гидроциклона, см;

V – объемная производительность гидроциклона, $M^3/4$;

K_D – поправка на диаметр гидроциклона. Принимается по таблице;

 $d_{\rm C}$ – диаметр сливного отверстия, см;

 P_0 – рабочее давление пульпы на входе в гидроциклон, МПа;

 T_{Π} – содержание твердого в питании гидроциклона, %;

 Δ – диаметр песковой насадки, см;

 δ_T — плотность твердого в пульпе, т/м $^3.$

Фактическая номинальная крупность слива для гидроциклона Ø=1000:

$$d_{\Gamma} = 1.5 *$$
 $\begin{array}{c} & & & \\ & 71 * 20 * 54 \\ & & \\$

Нагрузка по пескам выбранных гидроциклонов составляет 498,7/2=249.3 г/ч.

Удельная нагрузка в соответствии с формулой составит:

Удельная песковая нагрузка по твердому должна находиться в диапазоне 0.5-2.5 на 1cm^2 площади пескового насадка.

Таким образом, выбранный гидроциклон справляется по производительности обеспечивает нужную крупность слива. К установке принимаем два гидроциклона, по одному на секцию и два резервных.

Аналогичным образом решаем подбираем гироциклон для классификации II стадии измельчения.

Таблица 14 – Сводная таблица гидроциклонов

Показатели	Классификация	Классификация
	І, ГЦ 710	II ГЦ 500
Номинальная крупность слива,	0.15мм	0.113мм
МКМ		
Диаметр гидроциклона	71см	50см
Давление на выходе	0.1	0.25
Расчетная производительность по	270.4	197,3
питанию 1 г/ц, M^3 /ч.		
Количество питания по шламовой	602,2	489,9
схеме, $M^3/4$.		
Количество рабочих	2	3
гидроциклонов		
Количество резервных	2	3
гидроциклонов		

3.1.10.5 Выбор оборудования флотационного обогащения

Для основной и контрольной флотации во всех циклах устанавливаю пневмомеханические машины типа ФПМ-25 для перечисток ФМ-12.5.

Необходимое количество камер, выбранного типоразмера определяется по формуле:

$$n=\frac{V^*t}{60^* \, V_k^* \, k}$$

где: V-суточный объем пульпы, м³,принимается из рассчитанной шламовой схемы;

t- время флотации, мин;

 V_k -объем одной камеры флотомашины, м³;

k- коэффициент использования объема камеры k=0.7-0.75.

Основная песковая флотация:

$$n=$$
 1818,8*18 575802 $n=$ 29 IIIT. $60*25*0.75$ 25200

По 15 камер на каждую секцию.

Таблица 15 – Сводная таблица флотомашин

Наименование	V пульпы,	Типоразмер	V камеры, м ³	Время	Количество
операции	M^3 /cyT	флотомашин		флотации,	камер
				МИН	
Основная	1818,8	ФПМ-25	25	18	15
флотация					
Контрольная	1150	ФПМ-25	25	9	5
флотация					
I перечистка	652	ФМ-12.5	12.5	14	9
II перечистка	346	ФМ-12.5	12.5	11	2
III перечистка	105	ФМ-12.5	12.5	10	1

3.1.10.6 Оборудование для обезвоживание

Суточная производительность фабрики по концентрату 360 т/сут, часовая производительность 15т/ч.

А) Сгустители

Потребная площадь сгущения определяется по формуле:

$$F = O*f$$

Где, Q производительность по концентрату, т/ч;

f- удельная площадь сгущения, M^3/T^* ч. Значение f=20 M^3/T^* ч

$$F=15*20=300 \text{ m}^2$$

К установке принимаем для сгущения концентрата 2 сгустителя \emptyset 15м с центральным приводом. Общая площадь сгущения M^2 .

Б) Фильтры

Потребная поверхность фильтрации определяется по формуле:

52

Где, Q производительность по концентрату, кг/ч;

g- удельная производительность фильтров, $\kappa \Gamma/M^{2*}$ ч. Значение $g=150\kappa\Gamma/M^{2*}$ ч.

$$F=----=100 \text{ m}^2$$

Принимаем барабанных фильтры с внешней фильтрующей поверхностью БОУ 40-3, в количестве 3 штуки. Общая фильтрующая поверхность 100 м².

3.1.11 Выбор и расчёт вспомогательных оборудования

Насосы

Для перекачки пульпы принимаю песковые насосы. Все насосы, кроме дренажных дублированы.

Расчет насосов производится по производительности воды, рассчитывается по формуле :

$$Q = Q_0 * (1+B), M^3/\Psi$$

где, Q – производительность насоса по воде, $M^3/4$;

 Q_0 – производительность насоса по пульпе, м³/ч;

в — содержание твердого в перекачиваемом продукте в долях единиц. B=0.43

Расчет насоса для перекачки медного концентрата на сгущение.

$$Q_0 = 15 \text{ m}^3/\text{ч}.$$

$$Q = 15 * (1+0.43) = 21.45 \text{ m}^3/\text{q}$$

Определяю монометрический напор по формуле:

$$H_M = H_\Gamma + H_{\Pi.Y.} + H_{И3\Gamma} + H_{И3\Pi}$$

где , H_{M} -полный манометрический напор, м/вод*сут;

 $H_{\rm r}$ –геометрический напор (высота подъема), определяется по данным отметках оси насоса и точной. $H_{\rm r}=10{\rm m}$;

 $H_{\Pi, Y}$ – потеря напора на прямых участках трубопроводах, м. в. ст.;

 $H_{\text{Изг}}$ – потеря напора на изгибах труб;

 $H_{\text{Изл}}$ – потери напора при изливании и всасывании пульпы м. в. ст.

 $H_{\text{Изл}} = 1.5 \text{ M}.$

Потеря напора на прямых участках трубопроводах определяется по формуле:

$$H_{\Pi,y} = \alpha - \frac{e^* v^2}{d^* 2g}$$

где , α -коэффициент сопротивления для пульпы. d=0.04; e -длина трубопровода, e=38м; d -диаметр трубы, d=0.2м; g=9.81 м/се κ^2 ; $\upsilon=2$ м/с;

$$38 * 2^{2}$$
 $H_{\Pi,y} = 0.04 ----= 0.8 \text{ M}$
 $0.2 * 2 * 9.81$

Потеря напора на изгибах труб находим по формуле:

$$H_{\text{M3}\Gamma} = \kappa^* n_u^* - \dots$$

где , к- коэффициент сопротивления , к=0.2; n_u - шело изгибов на трассе трубопровода; α_0- угол изгиба трубопровода

$$90$$
 $H_{\rm Mar}$ = $0.2*4*----=0.8$ м. 90 $H_{\rm M}$ = $10+0.8+0.8+1.5=13.1$ м. вод. столба.

Таблица 15 – Сводная таблица насосов

Назначение	Типо-	Количе	ичество Производительность		Производительность	
насоса	размер					
		раб	рез	Фактическая	необходимая	
Разгрузка	ГРА-	1	1	900	837,5	67
мельницы 1	900/67					
стадии на 1						
классификацию						
Разгрузка	ГРА-	1	1	1400	1143,2	40
мельницы 2	1400/40					
стади, слтв г/ц 1						
на 2						
классификацию						
На основную	ГРА-	1	1	700	557,2	40
флотацию	700/40					
На сгущение	ПР-63/22,5	1	1	63	46,4	22,5
На	ПР-63/22,5	1	1	63	13,6	22,5
фильтрование						

Транспортеры

Расчет транспортеров производится по стандартной методике и имеет целью определение ширины ленты и мощности двигателя. На основании этих данных выбирается транспортер по каталогу.

Расчет транспортера для транспортировки руды в мельницу.

Определяем мощность электродвигателя транспортера:

$$(K_0 V + 1.2) * K_1 * K_2 * K_3 * K_4 * K_5 * L$$

$$N = ------, \kappa B_T; \qquad (32)$$
10000

где: K_0 – коэффициент, зависящий от ширины ленты;

К₁ – коэффициент запаса мощности двигателя;

К2 – коэффициент, учитывающий длину конвейера;

К₃ – коэффициент, учитывающий перегибы конвейеров;

К₄ – коэффициент условий работы конвейера;

К₅ – коэффициент, используемый в формуле, если есть тележка;

L – длина навески ленты, м;

V – скорость движения ленты, м/с;

$$N = 6.8 \text{ kBt}.$$

Определяем ширину ленты:

$$B = 60 \cdot (Q / (k_v \cdot V \cdot \delta_H)^{0.5} + 75, M,$$

где: В – ширина ленты, м;

Q – перемещаемая масса, т;

k_v – коэффициент, учитывающий угол наклона конвейера;

V – скорость движения ленты, м/с;

 δ_{H} – насыпная плотность, т/м³.

 $B = 60 \cdot (322.5 / (1.1 \cdot 2.25 \cdot 1.8))^{0.5} + 75 = 570$ мм. Принимаем B = 800 мм.

Аналогично рассчитываются другие транспортеры. Результаты расчета приведены в таблице 16

Таблица 16 – Сводная таблица расчета и выбора транспортеров

	Длина,	Угол	Ширина,	Кол-	Мощность
Назначение транспортера	M	наклона,	MM	во,	эл. дв.,
		градус		штук	кВт/ч
С крупного дробления в					
среднее	30	20	1600	2	75
С бункера в среднее					
дробление	13	0	800	2	25
С мелкого дробления в гл.					
корпус	130	15	1200	2	135
С мелкого дробления на					
грохочение	13	18	800	1	10
Транспортер над бункером					
главного корпуса	110	0	1600	1	50
Горизонтальный транспортер					
на измельчение					
Наклонные транспортеры на	20	0	800	2	25
измельчение					
Транспортер с фильтрации в	10	15	800	2	25
сушку					
Для сушенного концентрата	22	5	600	3	10
на склад					
Питатель пластинчатый	20	10	600	2	10
после крупного дробления					
	9	0	1200	1	75

Расчет воздуходувок.

Расход воздуха для одной камеры флотомашины $\Phi\Pi M$ -12,5 составляет 1,8 m^3 /мин. Для всех флотомашин составить:

$$46 \cdot 1.8 = 83 \text{ m}^3/\text{мин}$$

Выбираем воздуходувку ВК – 25, в количестве 4 штук.

Расход воздуха для вакуум-фильтров площадью 78 м 2 при q = $0.1 \div 0.4$ м $^3/($ м $^2 \cdot$ мин) составит:

$$78 \cdot 0,2 = 15,6 \text{ м}^3/\text{мин}$$

Выбираем воздуходувку ТВ-41-1,4 в количестве 2 штук (1 рабочий, 1 резервный) по одной рабочей на каждый вакуум-фильтр.

Расход сжатого воздуха для вакуум-насосов вакуум-фильтров при $q=0,5\div 1,5 \text{ м}^3/(\text{м}^2\cdot\text{мин})$ составит:

$$78 \cdot 1,2 = 93,6 \text{ m}^3/\text{мин}$$

Выбираем вакуум-насос РМК- 2А в количестве 2 штук по одному на каждый вакуум-фильтр.

Результаты расчета прочего вспомогательного оборудования приведены в таблице.

Таблица 17 – Сводная таблица расчета прочего вспомогательного оборудования

		Количест Производительность		ПЬНОСТЬ		
Наименование	Типоразмер	во		фактическая	необходимая	Мощн
и назначение		раб	Рез			ость,
						кВт.
Воздуходувки				200	805	200
для	BK-25	4	4			
флотомашин						
ФПМ-12,5						
Воздуходувки				41	15.6	50
для подачи	TB-41-1,4	1	1			
воздуха						
в вакуум-						
фильтр						
Вакуум-	PMK - 2A	2	2	35	56	50
насосы для						
фильтра						

3.1.12 Реагентное хозяйство

Реагентное отделение представлено складами для хранения реагентов, отделением растворных чанов и системой реагентопроводов.

В состав реагентного хозяйства обогатительной фабрики входят склады сухих и жидких реагентов, реагентное отделение, предназначенное для приготовления растворов реагентов требуемой концентрации дозированная площадка, размещающая вблизи флотационного цеха с расходными бачками для растворов и питателями реагентов. Погрузочно-разгрузочные работы и транспорт внутри реагентного склада механизируется автопогрузочниками и мостовыми кранами.

Таблица 18 – Суточный расход реагентов

тисящи то суто шим рискод решентов						
	Расход,	Рабочая	Суточный объем раствора,			
Наименование	т/сут	конц., %	M^3			
Сернистый натрий	90-110	0.88-				
		2.94	20.59			
Изопропиловый	11-23	0.59	3.53-14.12			
ксантогенат						
Бутиловый ксантогенат	60-90	0.59	3.53-14.12			
Машинное масло	10-15		4.12			

Оборудование для приготовления растворов реагентов.

Выбор и расчет оборудования для приготовления и перекачки реагентов выполняется из условия, что растворение производится в одну смену при непрерывной рабочей неделе с одним выходным днем. Перекачка реагентов на дозировочную площадку производится круглосуточно по мере необходимости. Насосы для перекачки работают в среднем 3-4 часа в сутки.

Результаты расчета и выбора оборудования для приготовления реагентов сведены в таблицу 19.

Таблица 19 – Сводная таблица оборудования реагентного отделения

Назначение	Наименование	T	Кол-во
оборудования		1	
Хранение раствора	Расходный чан	22	4
Дозировка извести	питатель	2ΠPC – 1	3
Дозировка ксантогената	жидкого реагента	2ΠPC – 1	1
Дозировка T – 66		2ΠPC – 1	1
Дозировка жидкого		2ΠPC − 1	1
стекла			

4. БЕЗОПАСНОСТЬ И ОХРАНА ТРУДА

4.1 Общая характеристика предприятия

Месторождение « Юбилейное » расположено Актюбинской области Республики Казахстан.

Золотые руды Месторождения «Юбилейное» по запасам являются основными.

Источниками выбросов загрязняющих веществ являются:

- корпуса дробления, в которых выделяется пыль в результате дробления и транспортировки руды;
- главные корпуса, применяющие водные растворы реагентов для технологического процесса, которые выделяют газообразные вредные вещества;
- хвостовое хозяйство, где при складировании хвостов обогащения так же происходит выделение пыли.

Все источники выбросов загрязняющих веществ делятся на организованые и неорганизованные.

Реагентные отделения, где производится растворение реагентов и приготовление растворов, главные корпуса, в которых установлены расходные баки и реагентные питатели для дозирования реагентов по точкам процесса флотации, а так же сварочные посты, снабжены вытяжными вентиляционными системами, которые обеспечивают содержание вредных веществ на рабочих местах в пределах допустимых норм.

Неорганизованные источники выбросов — это выбросы пыли неорганической в корпусах дробления и на хвостохранилище, выбросы соединений марганца, кремния, фтористого водорода, сварочного аэрозоля, фторидов и др. при производстве сварочных работ в цехах.

4.2 Организация охраны труда и производственной безопасности на предприятии

На месторождении «Юбилейное» уделяется большое внимание профилактике производственного травматизма и профессиональных заболеваний.

Основные цели обогатительной фабрики политика в области охраны труда:

– недопущение случаев смертельного травматизма, уменьшение количества несчастных случаев, профессиональных заболеваний и производственных аварий; снижение рисков, связанных с возможным нанесением ущерба жизни и здоровью работников;

-воспитание у работников всех уровней культуры безопасности, ответственного отношения к соблюдению норм и правил в области промышленной безопасности и охраны труда.

С целью предотвращения возникновения аварийных ситуаций на предприятии разработаны планы ликвидации аварий в особо опасных местах: реагентные отделения, хвостовое хозяйство, и также в цехе ОПУ САКЩМ.

Для обеспечения нормальной, безопасной и безаварийной работы персонал строго соблюдает производственную и технологическую дисциплину, правила и нормы безопасности труда и пожарной безопасности, умеет быстро и правильно действовать в аварийных ситуациях.

Для предотвращения аварий персоналом предприятия обеспечивается:

- систематический контроль за состоянием зданий, сооружений, оборудования и коммуникаций.

Также не допускаются нарушения правил производства работ, особенно в пожаро и пожаровзрывоопасных местах, средства пожаротушения содержатся в исправном состоянии и в постоянной готовности.

Для обеспечения взрывопожаробезопасности проводится:

- обучение людей при чрезвычайных ситуациях;
- установка молниезащиты и средств автоматизации;
- отключение электрооборудования в случае полной остановки производства;
 - не допускается переполнения емкостей.

Основными показателями профилактической стратегии предотвращения травматизма будут являться:

- сокращение числа работников, пострадавших или погибших в результате несчастных случаев на производстве.
- сохранение и укрепление здоровья трудоспособного населения, увеличение продолжительности работоспособного возраста, обеспечение профессионального роста и долголетия работника.
- совершенствование системы охраны труда, обеспечение научной организации труда.
- сокращение расходов, связанных с травматизмом, получение предприятиями дополнительной прибыли.

4.3 Инженерные расчеты по охране и безопасности труда

Расчет искусственно-естественного освещения

Учитывая высокую биологическую и гигиеническую ценность естественного света, в проекте предусматривается естественное освещение производственных помещений, для чего конструктивные решения зданий фабрик, каждого отделения выполняются с учетом требований СНиП-М,2-72.

Естественное освещение предусматривается для помещений с постоянным пребыванием в них людей.

Исходя из конструктивного решения здания проектируемого цеха обогащения, устанавливается боковое освещение, естественное на всех отметках выше нулевой. На верхних отметках можно предусмотреть комбинированное освещение.

В цехах фабрики применяется общее равномерное освещение.

Для создания благоприятных условий труда важное значение имеет освещение. На практике применяют естественное и искусственное освещение.

Естественное освещение нормируется СНиП-18-72. Электрическое освещение необходимо для проведения работ в темное суток и в местах без достаточного естественного освещения. В помещениях, где проводят относительно грубые работы, применют лампы накаливания. Естественное освещение осуществляется в виде бокового через окна в наружных стеках, в виде верхнего освещения через световые фонари в перекрытиях здания и через проемы в местах перепадов высот смежных проемов зданий из рас-чета 1м2 площади окна на 10 м2 площади пола.

Искусственное освещение осуществлятся с помощью светильников. Наименьшая освещенность составляет на поверхности составляет 20 лк для помещений, где устанавливается вспомогательное оборудование.

Для искусственного освещения производственных помещений проектом предусматривается система комбинированного освещения: брызгозащищенное и струезащищенное.

Проектом предусматривается светильники с люминесцентными лампами прямого света. При освещении подбункерного пространства используется комбинированное освещение: 30% искусственного освещения достигается за счет общего освещения от отделения измельчения и отсадки, а остальные 53 лк за счет установки светильников местного освещения.

Для освещения главного корпуса предусмотрена система комбинированного освещения. Главный корпус проектируемой обогатительной фабрики имеет следующие размеры по пролетам.

Первый пролет: длина (A) -102 м; ширина (B) -8 м; высота (H) -3 м.

Определяем высоту подвеса светильников і под рабочей поверх-ностью по формуле:

$$i = \frac{A * B}{H * (A * B)} = \frac{102 * 8}{3 * (102 * 8)} = 0,33 \text{ m}.$$

Применяем светильники типа «Универсал» без уплотнения. Коэффициент использования K=0,60. Принимаем коэффициент запаса в зависи-мости от условий технологического процесса. В главном корпусе коэффи-циент запаса K3=0,9. Находим мощность лампы по формуле:

$$Emin * S * K3$$

$$Fn = -----,$$

где: Fn - мощность лампы, Bт;

Emin - минимальное количество освещения;

S - площадь пролета, м2;

КЗ - коэффициент запаса;

з - коэффициент использования осветительной установки.

Рассчитаем по формуле мощность лампы:

Выбираем лампы ДРА мощностью 50 Вт. Определяем количество светильников по формуле:

$$n = \frac{Fn}{F\Pi}$$

Рассчитаем по формуле количество светильников:

Количество светильников 6 штук.

4.4 Электро - и пожаробезопасность предприятия

На фабрике используется электромеханическое оборудование, электродвигатели, трансформаторы, измерительные приборы, электросварочные агрегаты, светильники, кабели, провода.

Защитное заземление - преднамеренное электрическое соединение с землей эквивалентом металлических нетоковедущих частей, которые могут оказаться под напряжением. Оно предохраняет человека от поражения током в случае прикосновения к корпусу под напряжением в результате случайного соединения с токоведущими частями. В помещениях с повышенной опасностью и особо опасных, заземление металлических частей оборудования является обязательным.

Защитные заземления - быстродействующая защита, обеспечивающая автоматическое отключение электроустановки при возникновении в ней опасности поражения током. Его применяют тогда, когда защитное заземление и зануление не обеспечивают полной безопасности работ.

5. ЭКОНОМИКА ПРОИЗВОДТСВА

5.1 Главный корпус

Строительный объём главного корпуса составляет 200000 м^3 по цене 35000 тенге за 1 м^3 .

- 1. Стоимость корпуса составит:
- 200000 * 35 000 = 7 900 000 000 Tehre.
- 2. Стоимость строительных металлоконструкции составит при цене 75 000 тенге за 1 тонну металлоконструкциц: (217728*2/1000)*80000=34 836 480.
- 3. Стоимость технологических металлоконструкции составит: $(200000*1/1000)*75000=15\ 000\ 000$.
- 4. Общая стоимость корпуса составит: 7 900 000 000 тенге.
- 5. Накладные расходы составляют 18% и равны : 7 900 000 000 * 0.18=1422000000тенге.
- 6. Плановые накопления составляет 3% и равны: 230182041.6 тенге.
- 7. Монтаж электроосвещения по цене 25700 тенге за 1кВт установочной мощности равен:
 - 96.2*25700= 2472340 тенге.
- 8. Стоимость сантехнических работ составляет 15% от стоимости здания и равна: 1 276 110 108 тенге.

Всего стоимость строительных работ по главному корпусу составит 1 235 156 108 тенге.

5.2 Расчёт стоимости вспомогательных материалов

Таблица 18 – Расчет стоимости вспомогательных материалов

Наименование	Норма	Расход в	Цена за	Сумма в
	расхода	год т/ год	единицу	год, тенге
	KΓ/T		тенге/ тонна	
Медный купорос	1.78	1960	770000	1509200000
Ксантант бутиловый	0,05	68	570000	38760000
Аэрофлот	0,11	154	52200	8008000
Известь	0,82	902	86000	77572000
Бронь мельниц	0,12	143	79500	11368500
Транспортная лента	0,018	17	1600	27200
Сетка	0,06	86	2600	223600
Бронь ЩДП	0,013	14	82000	1148000
Смазочные материалы	0,32	293	57800	16935400

Таблица 5.2 – Определение энергетических нагрузок

зание	Количество		устано ая	Общая установочн ая мощность		Часов работы		расход
Наименование	Раб.	Рез.	Раб., кВт	Рез., кВт	Коэффициент использования мощности	В сут ки	В год	Годовой э/энергии, кВт-ч
ЩДП-12х15	1	-	90	-	0,65	21	6405	512460
КСД-2200 ГР	1	-	160	-	0,65	21	6405	911040
КИД – 2200	1	-	500	-	0,65	21	6405	2847000
МШР 40х50	2	-	1250	-	0,95	24	8160	14235000
ГИТ – 32Н	1	-	11	-	0,65	24	8160	85272
ГИТ – 61А	1	-	22	-	0,65	24	8160	170544
ПВПА 265/22.5	2	-	4	-	0,65	24	8760	22776
ПБА 400/52	4	-	4	4	0,65	24	8760	22776
Ц – 17.5	1	-	2	-	0,65	24	8760	17082
Ду68-2.5	1	-	1	-	0,65	24	8760	5694
$\Phi M - 12.3$	38		7.5			24	8760	42705
$\Phi M - 6.3$	26		7.5			24	8760	42705
Ширина - 800	5		10			24	8760	56940
Всего	-	-	-	-	-	-		18971994
Сантехническ ая нагрузка- 5%	-	-	-	-	-	-	5	8743654
Ремонтная нагрузка 7-9%	-	-	-	-	-	-	7,1	1209544
Освещение по расчету 1 кВт мощности на 100м^2	-	-	-	-	-	-	1,9	365213
Потери в сетях 0,5%	-	-	-	-	-	-	0,5	92345
Всего по объекту	-	-	-	-	-	-		10410756

5.3 Стоимость энергозатрат

Годовой расход электроэнергии составляет 28006742 кВт по цене 8 тенген за 1кВт. Стоимость электроэнергии составит:

28006742*8=224053936 тенге.

Годовой расход воды составляет 1366143 м³, из нее свежей воды 1394381 м³ по цене 3 тенге за 1 м³, и оборотной воды 700000 м³ по цене 2.7 тенге за 1м³.

Стоимость -1394381 * 3 = 4183143 тенге.

Оборотной -700000 * 2.7 = 1890000 тенге.

Всего- 6073143 тенге.

5.4 Заработная плата

Определение числиного профессионального состава трудящихся. Расстановочные основны производственных рабочих, ремонтной службы, руководителей специалистов и служающих приняты по анологии с действующей О Φ , на основе нормативов численности рабочих обогатительных фабрик предприятий горнодобывающией промышленности.

Таблица 20- Штатное расписание ИТР ЗИФ

Должность	Количеств							
	о штатных	Должностной	Месячный	Годовой				
	единиц	оклад, в тенге	Ф3П, в	Ф3П,	В			
			тенге	тенге				
Производственный персонал								
Машинист питателя	3	53200	176700	2120400				
Машинист	3	53200	176700	2120400				
конвейера								
Машинист насосов	3	51267	161279	1923348				
Дежурный слесарь	2	56150	145633	1747596				
Машинист	5	52300	156900	1882800				
грохочения								
Рабочий по отборке	1	52300	156900	1882800				
проб								
Инженер по ТБ	1	58500	58500	702000				
Машинист ЩДП	3	58500	175500	2106000				
Машинист КСД	3	58500	175500	2106000				
Машинист КИД	3	58500	175500	2106000				
Машинист мельниц	3	58500	175500	2106000				
Гидроциклонщик	3	58500	175500	2106000				
Концентраторщик	3	58500	175500	2106000				

Дежурный электрик	3	58500	175500	2106000
Слесарь КИП	2	58500	117000	1404000
Сменный мастер	4	65000	260000	3120000
Административны				
й персонал (ИТР)				
Начальник гл.	1	85000	85000	1020000
корпуса				
Главный механик	1	85000	85000	1020000
Главный инженер	1	85000	85000	1020000
	Количеств			
Должность	о штатных Должностной Месячный		Месячный	Годовой
	единиц	оклад, в тенге	Ф3П, в	Ф3П, в
			тенге	тенге
Главный энергетик	1	80000	80000	960000
МОП				
Уборщик	1	53300	53300	629600
Всего ФЗП	53	1298217	3026412	22012544

5.5 Расчет расходов на содержание и эксплуатацию оборудования.

Эксплуатация оборудования составляет 0,5% от стоимости всего оборудования без монтажа:

 $25318280 \times 0.005 = 126591.4$ Tehre.

Стоимость текущего ремонта составляет 3,5% от стоимости всего оборудования:

 $25318280 \times 0.035 = 886139.8$ Tehre.

Съемные части и быстроизнашивающийся инвентарь составляют 3% от стоимости всего оборудования:

 $25318280 \times 0.03 = 759548.4$ тенге.

Амортизационные отчисления составляют 25% от стоимости всего оборудования:

 $25318280 \times 0.25 = 6329570$ тенге.

Сменные части и быстроизнашивающееся оборудование и инвентарь из расчета 10000 тенге в год на одного рабочего составляет:

 $65 \times 10000 = 650000$ тенге.

5.6 Расчет цеховых расходов

- 1) Содержание аппарата и МОП –3026412 тенге.
- 2) Амортизация зданий и сооружений составляет 2,9% от их полной стоимости:

 $7243000000 \times 0,029 = 210047000$ тенге.

3) Текущий ремонт зданий и сооружений составляет 3,5% от полной стоимости зданий и сооружений:

 $7243000000 \times 0,035 = 253505000$ тенге.

- 4) Расходы на исследования и испытания составляют 1% от годового фонда заработной платы:
 - $22012544 \times 0.01 = 220125.44$ Tehre.
- 5) Затраты на охрану труда составляют 5% от годового фонда заработной платы:

 $22012544 \times 0.05 = 1100627.2$ тенге.

6) Стоимость износа малоценного и быстроизнашивающегося инвентаря составляет 0,2% от стоимости зданий и сооружений:

 $7243000000 \times 0,002 = 14486000$ тенге.

Таблица 21 – Калькуляция себестоимости переработки руды

Наименование статей	Цена за	Количество в	Сумма в год, тенге		
	единицу, тенге	год			
Исходная руда	1200	9000000	18000000000		
Транспортировка	1500	950000	17100000		
Дизтопливо	264000	119	6545000		
Бронь ЩДП	790000	25	5525000		
Бронь мельниц	560000	540,5	5525000		
Транспортерная лента	775800	505	11250		
Сетка	876700	1215,5	80000		
Итого			18028823750		
Электроэнергия	12	11346195	20563116		
Вода свежая	5	2694880	9251776		
Вода оборотная	2.8	2565578	6344096		
Итого	-	-	36158988		
Зарплата основная	-	-	42980400		
Эксплуатация оборудования	-	-	869510		
Текущий ремонт	-	-	6086570		
Наименование статей	Цена за	Количество в	Сумма в год, тенге		
	единицу, тенге	год			
Износ малоценного и	-	-	550000		
быстроизнашивающегося					
оборудования					

Продолжение таблицы 21

Амортизация оборудования			
	-	-	138785737
Прочие расходы	-	-	3621839
Итого	-	-	192894056
Содержание аппарата и	-	-	4461268
МОП			
Амортизация зданий и	-	-	310828917
сооружений			
Текущий ремонт	1	-	375138348
Исследования и испытания	-	-	429804
Охрана труда	•	-	2344298
Износ малоценного и	-	-	1289000
быстроизнашивающегося			
инвентаря			
Итого	-	-	694491635
Всего по калькуляции	-	-	189523684,3

ЗАКЛЮЧЕНИЕ

В соответствии с полученным заданием разработан проект обогатительной фабрики с производительностью 2 000 000 тонн руды в год по переработке золото - медной руды Юбилейного месторождения.

Основным методом обогащения золото - медной руды является процесс флотации. Проектом предусмотрено:

- трёхстадиальное дробление без предварительного грохочения в I стадии и с предварительным грохочением во второй и третьей стадии до крупности 12 мм;
- двухстадиальная схема измельчения с замкнутым циклом в первой и во второй стадии измельчения;
- основная, контрольная и 3 перечистные флотации с получением золотомедного концентрата;
 - обезвоживание продуктов.

На проектируемой обогатительной фабрике приняты следующие главные технологические показатели:

1) содержание металла в концентрате:

Cu - 15 %;

Au $-92, 39 \, \Gamma/T$.

2) извлечение металла в концентрате:

Cu - 92 %;

Au - 85 %

СПИСОК ЛИТЕРАТУРЫ

- 1. Справочник по обогащению руд. Т.1,2,3. М.: Недра, 1978. 1979
- 2. http://www.kazakhmys.kz/ Официальный сайт Корпарации Казахмыс
- 3. Ревазашвили Б.И., Сажин Ю.Г Методические указания по расчету схем рудоподготовки и выбору дробильно-измельчительного оборудования. Алматы.: КазПТИ, 1985.
- 4. Сажин Ю.Г. Расчеты схем рудоподготовки и выбор оборудования для дробления, грохочения, измельчения и классификации. Учебное пособие для руководителей курсового и дипломного проектирования и студентов специальности 2404 «Обогащение полезных ископаемых» Алматы: КазНТУ, 2005, с. 1–179.
- 5. Ревазашвилли Б.И., Сажин Ю.Г. Расчеты схем рудоподготовки и выбор дробильно-измельчительного оборудования. Измельчение А.: Каз ПТИ, 1985г.
- 6. Сажин Ю.Г. Ревазашвили Б. И. Методическое указание по выбору и реагенту схем и оборудования. Алматы.: КазПТИ, 1979.
- 7. Полькин С. И., Адамов Э. В. Обогащение руд цветных и редких металлов. М.: Недра, 1975.
- 8. Охрана труда и промышленная экология: В. Т. Медведев, С. Г. Новиков, А. В. Каралюнец, Т. Н. Маслова Москва, Academia, 2012 г.
- 9. Производственная безопасность. Практические работы: С. С. Тимофеева, С. А. Миронова Санкт-Петербург, Инфра-М, Форум, 2014 г.
- 10. Производственная безопасность: С. С. Тимофеева, Ю. В. Шешуков Москва, Форум, Инфра-М, 2014 г.
- 11. Безопасность жизнедеятельности. Производственная безопасность и охрана труда. Издательство: Высшая школа.
- 12. Трудовой Кодекс РК с изменениями и дополнениями по состоянию на 16.04.2018 г.
- 13. Мажкенов учета несчастных случаев, используемые в международной практике // Журнал «Охрана труда. Казахстан». № 6. 2006. С. 55-62.
- 14. Аманжолов труда и промышленная безопасность: Учебник для вузов. Караганда: Изд-во КарГТУ, 2004. 356 с.

приложение а

20	БОУ - 40	1 - 3	Фильт	Фильтр			1		
19	D= 18		Сгуститель			1			
17	$\Phi\Pi M - 1$	2.5	Флотомашины			9			
16	$\Phi\Pi M - 2$?5	Флотомашины			15			
15	ГЦ - 500		Гидроц	иклон			2		
14	ГЦ - 710		Гидроц	иклон			4		
9			Ленто	чный конв	гейер		1		
8			Трансп	ортер			1		
7	КИД — 22	200	Дробил	ка			2		
6	ΓCT - 31		Грохоп	ı			1		
5	КСД – 1200Гр		Дробил	ка			2		
4A			Ленто	чный конв	гейер		1		
4			Ленто	чный конв	гейер		1		
3	ЩДП 12:	x15	Дробил	ка			1		
2			Пласт	инчатый і	питатель		1		
1			Бункер	Бункер			1		
$\mathcal{N}\!\underline{o}$	Тип, мар	ип, марка Наименование				Кол.	Пр	Примечание	
поз									
					СПЕНИАНИ	4 77 1	ua () TII 15	1
					СПЕЦИФИКАЦИЯ ОПИ-15—1p				
						Ли	ım.	Масса	Масшт
Изм	Лист	№ докум.	Подп	Дата	Схема цепи аппаратов				
						J	v		
Разр	работал	Смолькова							
		А.И.							
Рукс	оводит.	Телков							
		Ш. А.							
Проверил		Телков			J		Лист		Листов
		Ш. А.							
					Проект		Каз. НИТУ		
					месторождения		каф	едра М і	и ОПИ
					Юбилейное				